SIMULAÇÃO POR COMPUTADOR DO MOVIMENTO DE UMA LINHA DE DISLOCAÇÃO ATRAVÉS DE UM ARRANJO ESPACIAL DE PRECIPITADOS

Tese apresentada ao Instituto de Física "Gleb Wataghin" da Universidade Estadual de Campinas, para obtenção do Titulo de Doutor.

I F G W
Instituto de Física "Gleb Wataghin"
Campinas - SP
1 9 8 0

À minha mãe e a memória de

meu pai e irmão falecidos.

À minha esposa **e filhos.**

A concretização desta tese foi possível graças à: Universidade Federal do Pará e em especial ao seu Departa

mento de Física.

Universidade Estadual de Campinas, através do Instituto de Física "Gleb Wataghin".

Coordenação do Aperfeiçoamento do Pessoal de Nivel Superi or, através do Plano Institucional de Capacitação de Do centes.

Conselho Nacional de Desenvolvimento Científico e Tecnológico.

Fundação de Amparo a Pesquisa do Estado de São Paulo.

INDICE

	Índic	e da figuras.	1
	Agrad	ecimentos.	4
	Resum	ο.	5
	Prefá	cio.	7
1.	Intro	dução.	9
	1.1	Objetivo do trabalho.	9
	1.2	Trabalhos desenvolvidos recentemente.	9
	1.3	Comentários sobre o modelo proposto.	11
	1.4	Revisão da Teoria da Elasticidade.	13
	1.4.1	Tensão.	13
	1.4.2	Deformação.	17
	1.4.3	Forças sobre uma dislocação.	19
2.	Funda	mentos teóricos (Influência de precipitados na	
	t e nsão	o de fluxo).	24
	2.1	Endurecimento por precipitação.	26
	2.2	Interação entre precipitados e dislocação.	31
	2.3	Tensão de linha.	37
3.	Método	os de simulação.	43
	3.1	Comentários sobre a distribuição aleatória des	
		precipitados.	43
	3.2	Comentários sobre a simulação da tensão de	
		fluxo.	45

	3.3 Comentários sobre a simulação do movimento	
	da dislocação.	49
Técnicas de computação.		
	Interpretação dos resultados.	60
	Discussão.	66
	Conclusões.	70
	Referências bibliográficas.	71

98

4.

5.

6.

7.

Ap**ê**ndice.

1 N D I C E D A S F I G U R A S

Figura P		
1	Representação esquemática de precipitados que	
	surgem em deformações coerentes.	7 5
2	Campo interno típico a ser vencido pela dislo	
	cação móvel, sob a ação de uma tensão aplicada	76
3	Movimento de uma dislocação através de um ar-	
	ranjo espacial de obstáculos - aspectos da	
	configuração geométrica.	77
4	Mecanismo proposto por Orowan para explicar a	
	passagem da dislocação através de obstáculos	
	rigidos largamente espaçados.	78
5	Campo dos deslocamentos devido a introdução de	
	um obstáculos com simetria esférica na matriz.	79
6	Ação do campo elástico gerado por um precipita	
	do sobre uma dislocação localizada nas suas vi	
	zinhanças.	80
7	Tensão de linha de uma dislocação encurvada.	81
8	Dislocação encurvada. O vetor de Burgers forma	
	um ângulo $oldsymbol{ heta}$ com a configuração reta original.	82
9	Aspecto da configuração assumida pela disloca-	
	ção no plano do deslizamento, sob a ação da	
	tensão atuante.	83

Di ann	_	2 Dámin s
Figura	Página	
10	Distribuição ordenada de precipitados usada	0.4
	no cálculo de $\overline{\sigma}_i$.	84
11	Interpretação geométrica do método emprega	
	do na simulação do movimento da dislocação.	85
12	Condições de contorno empregadas nos cálcu	
	los da simulação - Imagem especular.	86
13	Interpretação geométrica do primeiro método	
	idealizado para simular o movimento de dis	
	locação.	87
14	Interpretação geométrica de um outro método	
	usado no estudo do movimento da dislocação.	88
15	Aspecto gráfico da variação da relação t/t;	
	em função de t para a dislocação de cunha.	89
16	Configurações estáveis assumidas pela dislo	
	cação para distintos valores de t _i , no caso	
	de uma dislocação com características inici	
	ais de cunha.	90
17	Comparação de resultados simulados com da	
	dos experimentais para ligas de Cu-Co, com	
	concentrações de 3.0%, 4.0% e 6.0%, para o	
	caso de dislocações de cunha.	91
18	Comparação de resultados simulados com da	
	dos experimentais para ligas de Al-Zn, com	
	concentrações de 1.4% e 2.0%, para o caso	
	de dis loc aç ões de cunha.	92
19	Comparação de resultados simulados com da	
	dos experimentais para ligas de Cu ₃ Au-Co ,	

Figura	3 Página
com concentração de 1.5% para estruturas	
ordenadas (0) e desordenadas (D), para o	
caso de dislocações de cunha.	93
20 Comparação de resultados simulados com d <u>a</u>	
dos experimentais para ligas de Cu ₃ Au-Co,	
com concentração de 1.6% para estruturas	
ordenadas(O) e desordenadas(D), para o c <u>a</u>	
so de dislocações de cunha.	94
21 Normalização dos dados experimentais à	
curva padrão dos resultados simulados.	9 5
22 Configurações estáveis assumidas pela di <u>s</u>	
locação de hélice para distintos valores	
đe t_i.	96
23 Aspecto gráfico da variação da relaç ão -	
t/t; em função de t;, para a dislocação -	
de hélice.	97

AGRADECIMENTOS

- À Universidade Federal do Pará e seu Departamento de Fisica por haverem consentido no meu afastamento para cursar o doutoramento em Fisica.
- Ao Prof. Dr. Ricardo Enrique Mederano pela amizade, orienta ção e apoio constantes.
- Ao Prof. Dr. Gunther Schoeck pelas valiosas discussões e su gestões dadas durante a elaboração deste trabalho.
- À Anunciada, minha mulher, pela paciência e incentivos dados.
- Ao Prof. Dr. Antonio Fernando dos Santos Penna pela leitura do manuscrito.
- Aos analistas do Centro de Computação de IFGW pelo auxilio na parte de computação.
- À Secretaria do Departamento de Física Aplicada e à Secretaria de Apoio do IFGW pelas atenções dispensadas.
- À Seção de Desenho do IFGW pela confecção das figuras.
- Ao pessoal do serviço de publicação do IFGW pelo trabalho de impressão
- À todas as pessoas que direta ou indiretamente colaboraram para a conclusão deste trabalho.

RESIMO

É simulada a tensão de fluxo para materiais sólidos cristalinos com precipitados em termos de um modelo baseado na interação entre os campos elásticos da dislocação e dos precipitados. Na determinação das forças que atu am sobre a dislocação flexível que se movimenta através de um arranjo aleatório de precipitados é considerada a forma geométrica de sua configuração. A distribuição aleatória é obtida dividindo o espaço em células e introduzindo no interior de cada uma delas um precipitado numa posição ao acaso. Várias distribuições espaciais são estudadas para dislocações com caraterísticas iniciais de cunha e de hélice. A com paração entre resultados simulados e dados experimentais revelou bom acordo.

Um dos aspectos positivos do trabalho é a obtenção de um diagrama padrão para a tensão de fluxo com respeito ao raio médio dos precipitados, o qual é independente das caraterísticas químicas e físicas dos átomos de soluto e da matriz. Além disso, o diagrama pode ser usado para uma larga faixa de dimensões dos precipitados bem como para um grande número de distintas concentrações de soluto.

ABSTRACT

The yield stress of crystals with precipitates is simulated in terms of a model based upon the interaction between elastic field of dislocation and precipitates. In determinating the strength action upon flexible dislocation, which moves itself through a spatial array of precipitates, it was considered the geometrical form of its configuration. The random distribution of precipitates may be obtained by dividing the space in cells and positionning randomly one precipitate in each cell. Many different spatial configurations of precipitates are studied for edge and screw dislocations. A comparison between the simulated results and the experimental data has been made and it was found good agreement.

A positive feature of this work is to obtain pattern diagram for yield stress with respect to the mean radius of precipitates which is independent of the chemical and physical characteristics of the solute atoms and matrix. Further, the diagram may be used in the wide band of precipitates dimensions and to large range of different solute concentrations.

PREFÁCIO

As interações elásticas entre dislocações e fontes de deformações internas, tais como outras dislocações ou precipitados, são de fundamental importância para muitas das propriedades dos sólidos cristalinos. No presente traba lho é estudada apenas a interação elástica com precipitados, pelo movimento simulado de uma dislocação flexível através de um arranjo espacial daquelas partículas, sob a influêm cia da tensão de linha.

No primeiro capítulo, é feita a descrição e a análise suscintas dos métodos recentes usados por alguns pesquizadores, no estudo do fluxo plástico simulado. Em se guida são expostas as idéias básicas do modelo proposto, o qual tem a pretenção de tornar mais realista a simulação da tensão de fluxo. O capítulo é encerrado com uma revisão de alguns conceitos relevantes da Elasticidade dos Meios Contínuos.

No segundo capítulo, faz-se o estudo mais de talhado dos fatores que influenciam mais fortemente a resis tência ao deslizamento da dislocação. São destacados como tais a força originada da interação com os precipitados e a força devida ao encurvamento da dislocação no interior do campo interno de tensões. É também incluida toda a formula ção matemática para a sua compreensão.

O terceiro capítulo apresenta o método de si mulação desenvolvido. O estudo do comportamento da disloca ção dentro do campo de tensões geradas pelos precipitados é realizado em função de dois parâmetros adimensionais, norma lizadores da força aplicada externamente ao sólido e da força de interação com os precipitados. Este fato resulta em grande importância para o trabalho, pois isto permite fazer uma simulação da tensão de fluxo, única para uma larga fai xa de dimensões dos precipitados bem como para um número bem grande de distintas concentrações de solutos.

Nos dois capítulos seguintes é feita a apres sentação dos resultados obtidos e suas discussões em termos de dados experimentais constantes em literaturas recentes.

O último capítulo é dedicado às conclusões dos resultados obtidos.

As referências bibliográficas estão coloca das após o último capítulo e logo em seguida as figuras.

Por fim é apresentado um apêndice com os programas de computação utilizados nos cálculos da simulação.

INTRODUÇÃO

1.1 Objetivo do trabalho

O campo das deformações elásticas gerado por precipitados num sólido cristalino desempenha um papel mui to importante na determinação das propriedades mecânicas dos metais. Esta pesquiza tem por objetivo o estudo da forma co mo a interação entre tais campos e o de uma dislocação mó vel influencia a tensão de fluxo e o modo pelo qual ela po de ser determinada teoricamente, a partir de um modelo bem mais próximo da realidade física do fenômeno.

1.2 Trabalhos desenvolvidos recentemente

Um grande número de simulações tem sido fei to para o estudo do movimento de uma dislocação através de um arranjo espacial de obstáculos. Na maioria dos casos a interação entre a dislocação e os obstáculos tem sido representada por uma força pontual (1). Quando os obstáculos são átomos solutos ou precipitados esta descrição não é realista. Muitas tentativas foram feitas para melhorar a simulação. Labusch e Schwarz (2) consideraram um arranjo planar de obstáculos fracos com largura finita, porém utilizaram um

potencial do tipo senoidal para representar a interação en tre eles e a dislocação.

Para a maioria dos átomos de soluto e muitos precipitados, uma característica comum é que eles podem ser representados elasticamente como centros de dilatação, os quais interagem com a dislocação através do seu próprio cam po de tensões. Partindo deste princípio Kuo e Arsenault (3) fizeram a simulação do movimento da dislocação considerando apenas a força de interação de um arranjo espacial de centros de dilatação sobre um segmento reto de dislocação de cunha com comprimento finito, para o caso de uma solução sólida.

Partindo de argumentos teóricos Labusch (4) de monstrou que a dependência da tensão de fluxo sobre a con centração de obstáculos está ligada à própria extensão des ses obstáculos. Este fato despertou o interêsse de fazer uma simulação mais realista para a resistência ao deslizamento de uma dislocação flexível, através de um arranjo espacial de obstáculos extensos.

De um modo geral a largura de um obstáculo, introduzida como um parâmtero na descrição analítica da ten são de fluxo, fica completamente determinada pala natureza da interação do próprio obstáculo com a dislocação. No caso de precipitados, eles deformam localmente a rede cristalina gerando campos de tensões elásticas de curto alcance que in terferem de modo resistivo no movimento da dislocação eш certas regiões do interior da matriz. Consequentemente, ca da centro de dilatação define uma região de influência no interior da qual os átomos de soluto precipitaram. Uma des realista desta situação pode ser obtida a partir cricão da divisão do espaço em células e uma posterior introdução no interior de cada uma delas, de um precipitado numa pos<u>i</u>
ção aleatória.

1.3 Comentários sobre o modelo proposto.

No presente trabalho é estudado o movimento de uma dislocação flexível, com tensão de linha dependente da orientação do vetor de Burgers. O movimento é realizad o através de um arranjo espacial de precipitados, sob a ação de uma tensão aplicada externamente ao conjunto.

O arranjo espacial de precipitados é obtido a partir da construção de uma estrutura de 600 células postas num conjunto de 10 células na direção X, 20 na ção Y e 3 células na direção Z, todas com mesmas dimensões e contendo apenas um precipitado numa posição ao acaso seu interior. A simulação do movimento é feita considerando inicialmente a dislocação como uma linha reta, paralela eixo X e colocada no centro do arranjo. A linha de disloca ção é então dividida em um determinado número de iguais seg mentos. Em seguida calcula-se a força atuante nos extremos de cada um desses segmentos, devida exclusivamente ao campo de tensões internas (dos precipitados) e a dislocação é dei xada livre para se movimentar sobre o plano formado eixos X - Y, ao longo da direção Y até atingir uma configu ração de equilíbrio sob a influência da tensão de linha. partir de então, é adicionada uma força aplicada e nova con figuração de equilibrio é calculada, empregando um de computação que dá mais rápida convergência que os outros métodos tentados e usando como condições de contorno perió dicas nos extremos da linha de dislocação, sua imagem cular. A força aplicada é então aumentada discretamente

novas configurações estáveis são determinadas até a dislocação adouirir condições para vencer os obstáculos que impedem o seu movimento. Esta é a tensão de fluxo simulada.

A distribuição espacial de precipitados é es tudada para dislocações com caraterísticas iniciais de cu nha e de hélice. Esta distribuição representativa de uma ma triz com átomos de soluto completamente precipitados, permi te que se faça o crescimento desses precipitados entre limi tes fisicamente aceitáveis. Este é um dos aspectos vos de se incluir na descrição analítica do processo da formação plástica simulada a largura dos obstáculos. torna possível a normalização tanto da tensão de fluxo como a das dimensões dos precipitados, fazendo com que os parâme tros da simulação fiquem independentes das caraterísticas quimicas e físicas dos elementos que formam os precipitados e a matriz. Com isso, uma grande variedade de ligas poderão ser simuladas, com distintas concentrações de átomos de luto e para cada uma delas será possível reproduzir ó meno do envelhecimento, em termos das dimensões dos precipi tados.

Os resultados obtidos na simulação mostram a existência de uma única curva padrão, a qual comparada com dados experimentais, devidamente normalizados aos parâmetros da simulação, acusou bom acordo.

Por outro lado, algumas limitações são impos tas ao modelo, tais como a de que os precipitados tenham di mensões iguais embora variáveis, todos com mesma simetria es férica; que a linha de dislocação durante seu movimento na matriz mantenha uma configuração não muito afastada da con figuração inicialmente reta. No entanto, como estas limita

ções não são mais restritivas que as utilizadas por outros pesquisadores (1-4), parece razoável considerar este traba lho como representativo do comportamento de uma dislocação no interior de um sólido cristalino com partículas precipitadas.

1.4 Revisão da Teoria da Elasticidade

Nesta parte é feita a revisão de três conceitos da Teoria da Elasticidade dos Meios Contínuos, muito importantes para o entendimento das distintas etapas do trabalho. No desenvolvimento deste e dos demais capítulos, será considerado que o sólido cristalino é um corpo homogêneo. O material de que ele é formado será caracterizado como um contínuo de pontos matemáticos. Outros conceitos também importantes, serão introduzidos nos capítulos restantes a medida que forem sendo necessários.

1.4.1 Tensão.

A noção de tensão é um conceito fundamental na teoria da elasticidade. Quando uma força é aplicada à su perfície de um corpo, esta força é transmitida através dele por meio de interações mútuas entre suas partes constituin tes. A partir de um elemento de volume ΔV tomado no interior do sólido e da existência de um conjunto de forças uni formemente distribuídas sobre a superfície ΔS que envolve tal volume, é definido o vetor \overrightarrow{T} (vetor tensão) que representa a força por unidade de área que esse elemento de volume exerce sobre o restante do material que o comprime ou o traciona. Por definição, o tensor de tensão \overrightarrow{O} é um cam po tensorial que liga \overrightarrow{T} a \widehat{n} (um vetor unitário normal à

superficie, apontando de dentro para fora de \triangle V) em qualquer ponto da superficie \triangle S e escrito como $^{(5)}$

ou em termos dos indices

$$T_{j} = \sigma_{ij} n_{i}$$
; i, j = 1,2,3 (1)

0 tensor de tensão σ_{ij} para i=j (tensão normal) dá a componente da força ao longo do eixo positivo x_j que atua no elemento de área, cuja normal aponta na mes ma direção. O tensor de tensão σ_{ij} para $i\neq j$ (tensão de cizalhamento) dá as duas componentes ortogonais da força que atua no mesmo elemento de área, nas direções positivas dos eixos x_i .

As equações de equlíbrio para a teoria da elasticidade, derivadas da lei de Newton do movimento e aplicadas a um elemento de volume arbitrário são escritas na forma (5)

$$\overrightarrow{F} = \oint \overrightarrow{T} dS + \int \overrightarrow{f} dV$$

que em termos da definição (1) fica

$$F_{j} = \oint_{\Delta S} \sigma_{ij} n_{i} dS + \int_{\Delta V} f_{j} dV$$

mas, $n_i dS=dS_i$ é o elemento de área normal à direção X_i , logo

$$F_j = \oint \sigma_{ij} ds_i + \int_V f_j dV$$
; i,j = 1,2,3

onde Δ S é a superficie fechada que envolve Δ V , $\mathbf{F_j}$ é a

força total que atua sobre o material contido em ΔV . O se gundo termo do segundo membro é uma força qualquer generalizada, cujo efeito é proporcional ao volume sobre o qual ela atua. A igualdade acima pode ser escrita como $^{(6-7)}$

$$F_{j} = \int_{\Delta V} (\frac{\partial \sigma_{ij}}{\partial x_{i}} + f_{j}) dV$$
; i,j = 1,2,3

Para condições de equlibrio estático a lei de Newton exige que F_j seja nula e como a equação acima de ve ser válida para qualquer ΔV , então

$$\frac{\partial \sigma_{ij}}{\partial x_i} + f_j = 0 ; i,j = 1,2,3$$
 (2)

O torque em relação a origem de um referencia al arbitrado é dado por (5)

$$\overrightarrow{H} = \oint_{\Delta S} \overrightarrow{R} \times \overrightarrow{T} dS + \int_{\Delta V} \overrightarrow{R} \times \overrightarrow{F} dV$$

onde \overrightarrow{R} é o vetor que localiza as forças em relação ao sistema escolhido. Substituindo a definição (1) na expressão para \overrightarrow{M} anteriormente estabelecida, tem-se

$$M_{j} = \oint_{\Delta S} \mathbf{\xi}_{jik} X_{i} \quad \sigma_{pk} \quad dS_{p} + \int_{\Delta V} \mathbf{\xi}_{jik} X_{i} \quad \mathbf{f}_{k} \quad dV$$

a qual pode ainda ser escrita como (6-7)

$$M_{j} = \int_{\mathbf{V}} \left[\xi_{jik} \mathbf{x}_{i} \left(\frac{\partial \sigma_{pk}}{\partial \mathbf{x}_{p}} + f_{k} \right) + \xi_{jpk} \sigma_{pk} \right] dv ;$$

$$i,j,p,k=1,2,3 \qquad (3)$$

onde se empregou a relação

$$\frac{\partial x_i}{\partial x_p} = \delta_{ip}$$

sendo δ_{ip} o delta de Kronecker, definido por

$$\delta_{ip} = 1$$
 se $i = p$

$$= 0 \text{ se } i \neq p$$

0 simbolo $m{\ell}_{
m jik}$ que aparece nas equações (3) é um operador de permutação, que tem componentes

$$\mathbf{\xi}_{jik}$$
 = 1 se jik é uma permutação par de 123

= -1 se jik é uma permutação impar de 123

= 0 se dois indices quaisquer são iguais

O primeiro termo da equação (3) é nulo devido a consideração assumida de equilibrio estático, a equação (2). Por outro lado, o torque total sobre o elemento de volume deve ser nulo qualquer que seja o ΔV considerado, logo

$$\epsilon_{jpk} \sigma_{pk} = 0$$
; $j,p,k = 1,2,3$

e como o campo de tensões é arbitrário, esta igualdade é equivalente a

$$\sigma_{pk} = \sigma_{kp}$$
 ; p,k = 1,2,3

ou seja, o tensor de tensão é simétrico.

1.4.2 Deformação.

Em adição às tensões, a teoria da elasticida de está também voltada para as deformações ou seja, para as modificações na forma e nas dimensões do corpo, como resultado das forças que sobre ele atuam. A descrição da deformação baseada em conceitos puramente geométricos é feita através do vetor deslocamento \overline{U} , que é definido como um campo vetorial que transforma os pontos do interior do sólido de um estado inicial sem deformações (\overline{X}), para o estado final deformado (\overline{X})

$$\vec{X} \rightarrow \vec{X'} = \vec{X} + \vec{U}$$

ou seja, após a deformação um ponto que antes tinha sua posição definida por \vec{x} fica agora localizado em $\vec{x} + \vec{u}$, on de \vec{u} é uma função de \vec{x} . O tensor de deformação e_{ij} é normalmente usado para dar a medida da deformação. Se no estado inicial ds_0^2 é o quadrado da distância entre dois pontos muito próximos, tomados no interior do sólido e ds_0^2 o seu valor após a deformação, e se dx é o vetor que liga esses pontos, o tensor de deformação é então definido ds_0^2 0 mo

$$ds^2 - ds_0^2 = 2 e_{ij} dx_i dx_j ; i,j = 1,2,3$$
 (4)

0 vetor \overrightarrow{dx} medido em relação ao sistema in deformado dá um valor bem diferente daquele que se obteria medindo-o no sistema deformado (5-7).

Da geometria diferencial elementar tem-se

$$ds_{o}^{2} = dx_{k} dx_{k}$$

$$= \delta_{i,j} dx_{i} dx_{j}; i,j = 1,2,3$$
 (5)

e

$$ds^{2} = (\delta_{ki} \frac{\partial u_{k}}{\partial x_{i}}) (\delta_{kj} \frac{\partial u_{k}}{\partial x_{j}}) dx_{i} dx_{j}$$

$$= (\delta_{ij} \frac{\partial u_{i}}{\partial x_{j}} + \frac{\partial u_{j}}{\partial x_{i}} + \frac{\partial u_{k}}{\partial x_{i}} \frac{\partial u_{k}}{\partial x_{j}}) dx_{i} dx_{j} ;$$

$$i,j,k = 1,2,3$$
 (6)

Fazendo a diferença entre as relações (5) e (6) obtem-se

$$ds^{2} - ds_{o}^{2} = (\frac{\partial v_{i}}{\partial x_{j}} + \frac{\partial v_{j}}{\partial x_{i}} + \frac{\partial v_{k}}{\partial x_{i}} \cdot \frac{\partial v_{k}}{\partial x_{j}}) dx_{i} dx_{j}$$

$$i,j,k = 1,2,3$$

e comparando a expressão resultante para $dS^2 - dS_0^2$ com a definição (4) vem

$$e_{ij} = \frac{1}{2} \left(\frac{\partial v_i}{\partial x_j} + \frac{\partial v_j}{\partial x_i} + \frac{\partial v_k}{\partial x_i} \cdot \frac{\partial v_k}{\partial x_j} \right) \quad ; i,j,k = 1,2,3$$

Quando a variação espacial em U_j é infinitesimal o produto das derivadas pode ser desprezado em relação aos demais termos. Por definição (5-8), isto corresponde ao caso de deformações lineares ou infinitesimais. Logo,

$$e_{ij} = \frac{1}{2} \left(\frac{\partial v_i}{\partial x_j} + \frac{\partial v_j}{\partial x_i} \right) ; i,j = 1,2,3$$
 (7)

Quando as deformações são infinitesimais a dependência anteriormente mencionada sobre a escolha do referencial se anula.

0 tensor de deformação tem a seguinte interpretação geométrica $^{(5-8)}$: \mathbf{e}_{ij} para i = j (deformação normal) dá a variação no comprimento de uma linha inicial mente paralela ao eixo \mathbf{x}_j , por unidade de comprimento. \mathbf{e}_{ij} para i \neq j (deformação de cizalhamento) dá a semi-va ri ação angular entre duas linhas mutuamente perpendiculares , inicialmente paralelas aos eixos \mathbf{x}_i e \mathbf{x}_j .

1.4.3 Forças sobre uma dislocação.

As forças que atuam sobre uma dislocação são forças generalizadas num sentido termodinâmico. São forças virtuais que representam a variação na energia do sistema pe lo movimento da dislocação no campo das tensões internas. E conveniente classificar essas forças em dois tipos. O primei ro tipo compreende as forças originadas por campos de defor mações elásticas, cujas fontes não inclui a dislocação pro priamente dita. Este é o caso por exemplo de precipitados em uma estrutura cristalina, da presença de outras dislocações no cristal, da força aplicada externamente ao sólido.

A obtenção da força por unidade de comprimento da linha de dislocação que o campo de tensões internas gentado por uma fonte de deformação qualquer exerce sobre a dislocação, é feita a partir da consideração do trabalho virtual realizado pelas tensões internas para mover a dislocação. Para um anel de dislocação criado num meio onde existe uma fonte de deformação interna, o trabalho & realizado pelo campo para produzir um deslocamento infinitesimal do anel é dado por (6,9-12)

$$\delta W = -\vec{b} \cdot (\vec{O} \cdot \vec{dA})$$

onde b é o vetor de Burgers da dislocação, σ é o tensor de tensão e $d\tilde{A} = dA$ \hat{n} é o acréscimo elementar na área limita da pelo anel e \hat{n} é um vetor unitário normal a essa superficie. O sentido positivo de \hat{n} é determinado pela regra do parafuso da mão direita, com respeito à direção positiva de \hat{t} , o versor da tangente tomada em cada elemento de comprimento de da dislocação, indicando uma circuitação no sentido anti-horário. Se cada um dos elementos de da dislocação sofre um deslocamento virtual $\delta \hat{r}$, a área limitada pelo anel varia de

$$\frac{1}{dA} = dl(\delta r \times t)$$

e o trabalho total realizado é

$$\delta W = -\oint_D \vec{b} \cdot [\vec{\sigma} \cdot (\vec{\delta} r \times \hat{t})] d\ell$$

$$= -\oint_D (\vec{b} \cdot \vec{\sigma}) \cdot (\vec{\delta} r \times \hat{t}) d\ell$$

$$= -\oint_D [(\vec{b} \cdot \vec{\sigma}) \times \hat{t} d\ell] \cdot \vec{\delta} r$$

onde D é o comprimento do anel de dislocação.

Por outro lado, a força que atua em cada el<u>e</u> mento d**l** deve satisfazer a igualdade

$$\delta W = -\oint_D \vec{d\vec{r}} \cdot \vec{\delta r}$$

logo, comparando as duas últimas igualdades tem-se

$$\oint_D \vec{dr} \cdot \vec{\delta r} = \oint_D [(\vec{b} \cdot \vec{\sigma}) \times \hat{t} d\ell] \cdot \vec{\delta r}$$

e como $\delta \hat{r}$ é uma variável arbitrária ao longo do anel,

$$\overrightarrow{dF} = (\overrightarrow{b} \cdot \overrightarrow{O}) \times \hat{t} d\ell$$

e finalmente

$$\frac{\vec{dF}}{d\ell} = (\vec{b} \cdot \vec{O}) \times \hat{t}$$
 (8a)

que é a força por unidade de comprimento que atua sobre a dis locação, devida ao campo elástico gerado por fontes internas de deformação. Esta é a equação de Peach-Koehler (11).

Alternativamente, a equação anteriormente obtida pode ser escrita em termos de indices como

$$F_i = \mathcal{E}_{ijk} t_k \sigma_{1j} b_1 ; i,j,k,l = 1,2,3$$
 (8b)

sendo as equações (8), uma forma geral.

Nos cristais reais a dislocação pode se movimentar em forma conservativa em certos planos específicos. Estes planos são determinados pela própria linha de dislocação e pelo seu vetor de Burgers. Logo, é conveniente obter a componente da força contida no plano de deslizamento, a qual pela equação (8a) deve ser sempre perpendicular à lima de dislocação. Logo ela deve atuar na direção definida por $\hat{\mathbf{n}}$ x $\hat{\mathbf{t}}$, onde $\hat{\mathbf{n}}$ é um vetor unitário perpendicular ao plano. Esim a componente ($\mathbf{F}_{\mathbf{d}}$) do deslizamento é

$$F_{d} = [(\vec{b} \cdot \vec{O}) \times \hat{t}] \cdot (\hat{n} \times \hat{t})$$

ou ainda

$$F_{d} = \mathcal{E}_{ijk} \mathcal{E}_{klm} \sigma_{pi} b_{p} t_{j} t_{m} n_{l}$$

$$= (\delta_{il} \delta_{jm} - \delta_{im} \delta_{jl}) \sigma_{pi} b_{p} t_{j} t_{m} n_{l}$$

$$= (\delta_{il} \sigma_{pi} b_{p} n_{l}) (\delta_{jm} t_{j} t_{m})$$

$$= \sigma_{pl} b_{p} n_{l}$$

ou numa forma mais simpleficada

$$\mathbf{r}^{\mathbf{f}} = \boldsymbol{\sigma}^{\mathbf{f}} \mathbf{b} \tag{9}$$

onde o índice f diz respeito apenas ao tipo da fonte de de formação interna. Ob é a força por unidade de comprimento da linha de dislocação que atua no plano de deslizamento sem pre perpendicularmente à dislocação, ao longo de todo o seu comprimento.

O segundo tipo de forças inclui a auto-força da dislocação, a qual depende apenas das propriedades geomé tricas locais do seu proprio campo de deslocamentos ou seja, da sua configuração no interior do cristal (9-12). Muito embo ra este caso possa ser tratado de modo semelhante ao anterior, será empregado um outro procedimento, o qual visa ofere

cer maiores detalhes do fenômeno. Isto será estudado no capítulo seguinte, onde a força é designada tensão de linha, como é normalmente feito na literatura.

Capitulo 2

FUNDAMENTOS TEÓRICOS (INFLUÊNCIA DE PRECIPITADOS NA TENSÃO DE FLUXO)

As experiências têm demonstrado que de um mo do geral os materiais sólidos cristalinos podem ser deforma dos guando solicitados por forças aplicadas externamente Tem sido verificado ainda que até um certo valor limite ra a força aplicada, esses materiais recuperam suas sões originais quando a força aplicada é removida. Este nômeno é chamado de comportamento elástico. No entanto quan do a força aplicada excede aquele valor limite, os cristalinos sofrem uma deformação com características rentes da anterior. Eles não mais recuperam suas dimensões originais pela retirada do agente deformador. Diz-se que eles sofreram uma deformação plástica ou simplesmente. una deformação permanente. O comportamento dos materiais nes se estado de deformação não é mais regido pela lei de Hooke. A descrição matemática da deformação plástica ainda não tá muito bem desenvolvida como a deformação elástica. vés da teoria da elasticidade. Isto é devido ao fato da nomenologia do processo plástico ser muito mais complexa.Pa ra o seu entendimento é preciso que se considere os detalhes da estrutura dos materiais, os quais são ignorados quando se estudam apenas as propriedades elásticas.

Certa evidência sobre a natureza dos proces sos de deformação plástica tem sido dornecida pelas ências, as quais empregam como principais métodos de estudo o exame das bandas de deslizamento, a análise da deformação em cristais e a medida da resistência ao escoamento. Os sultados obtidos por tais métodos têm comprovado que a são de fluxo, calculada em termos de forças coesivas átomos, a partir de um modelo teórico de rede perfeita é em muitas ordens de grandeza maior que a tensão de cizalhamento para o início do fluxo plástico, observada em cristais reais. Esta tensão é chamada de tensão crítica de cizalhamento CRSS. Fatos como estes é que serviram como base para a acei tação da existência das dislocações. Isto também motivou estudo dos fatores responsáveis pela resistência ao cizalha mento, como uma introdução ao modo de se procurar interpre tar as propriedades das dislocações. Como as deformações plás ticas são consequências do movimento das dislocações no terior do sólido, a tensão crítica de cizalhamento nada ma is seria do que a tensão requerida para colocar em to a dislocação através da rede cristalina. Sabe-se no entan to, que a tensão crítica de cizalhamento é minima em dire ções específicas sobre certos planos cristalográficos. malmente o plano de deslizamento é o plano de maior densida de atômica e a direção do deslizamento é a direção do mo empacotamento dentro desse plano, segundo o modelo de es feras rigidas densamente compactadas. Por outro lado, os planos de maior densidade são tambem os planos mais espa cados da estrutura cristalina, a resistência ao deslizamento é em geral menor para eles do que para qualquer outro conjun to de planos (13).

Contudo os mecanismos de deformação plástica não se resumem apenas ao simples relacionamento entre a es trutura atômica e os defeitos da rede cristalina, como normal mente ocorre em monocristais. As amostras policristalinas não se deformam na região plástica seguindo uma lei relativamen te simples. No entanto, mesmo no caso de estruturas cristali nas simples, podem surgir contribuições extras que influenci am consideravelmente o processo de deformação plástica (14), como ocorre em ligas onde a presença de átomos de soluto ou precipitados oferece uma resistência adicional ao cizalhamen to.

No presente trabalho, são estudadas apenas as propriedades mecânicas que resultam da interação entre as dislocações móveis e partículas precipitadas no interior de uma estrutura cristalina. Tais partículas deformam localmente a rede cristalina criando campos de tensões elásticas de curto alcance, os quais atuam como obstáculos à movimentação da dislocação através do sólido (15).

2.1 Endurecimento por precipitação.

Quando um sólido cristalino contém átomos de um outro elemento numa solução sólida saturada, os átomos de soluto têm a tendência de precipitar em certas regiões da ma triz. O primeiro estágio do processo de precipitação, para a concentração de solutos constante, consiste na formação de pequenos segregados de átomos de soluto, os quais constituem regiões estáveis, com propriedades químicas diferentes da com posição média da matriz. A continuidade do processo provoca o crescimento des partículas, formando regiões de ordenamen to definido no interior da estrutura. A formação de estrutu

ras de transição é favorecida pela semelhança dos arranjos atômicos entre elas e a matriz. Isto resulta numa maior ener gia interfacial e a nucleação da segunda fase ocorre facil mente, estando o decrescimo máximo da energia livre, associ ado com a formação de uma fase de equilibrio. Os precipita dos assim obtidos, têm estruturas cristalinas diferente matriz e são coerentes com ela. Como os sólidos cristalinos com precipitados são produzidos por reação de estado sólido de ligas que são monofásicas a temperaturas suficientemente elevadas, é natural que os átomos de soluto que formam o pre cipitado, sejam solúveis em algum grau na matriz. Devido isso, mesmo nas temperaturas em que são estáveis, os pitados apresentam uma tendência de reduzir sua área super ficial total, por um processo de crescimento de grão, chama do de envelhecimento da liga. Os precipitados menores que uma certa dimensão crítica tendem a se redissolver e os pre cipitados maiores crescem.

A forma geométrica e as dimensões dos precipitados, assim como a natureza da interface entre eles e a matriz exercem grande influência sobre a tensão crítica de cizalhamento (4,12-15). Como o volume médio dos precipitados é diferente do volume atômico do átomo da matriz, a rede cristalina em torno dessas partículas é obrigada a acomodar as variações de dimensões, o que é feito na forma de um cam po de deformações, muito similar ao campo gerado por um áto mo de soluto na matriz.

A figura 1 mostra um conjunto de átomos de soluto precipitados na forma de uma plaqueta com interfaces coerentes.

A interpretação do endurecimento de uma li

ga com átomos de soluto completamente precipitados, de um - modo geral está baseada na teoria desenvolvida por Mott e Nabarro (16), a qual considera que a resistência oferecida ao movimento de uma dislocação é originada da interação entre o campo de deformações elásticas dos precipitados e o da pró pria dislocação.

O campo das deformações internas devido a presença dos precipitados, embora sendo de curto alcance interfere no movimento como uma barreira de largura finita, a qual deve ser transposta pela dislocação. A figura 2 mostra uma situação típica, na qual a dislocação ao longo da direção do seu movimento encontra regiões no interior da matriz onde a tensão interna atua de modo a impedir sua livre movimentação através do sólido. Para a continuidade do movimento é preciso aplicar tensões externas suficientes para fazer com que tais obstáculos sejam vencidos (17). No processo não está sendo levada em conta a ativação térmica.

Alem dos fatores anteriormente citados, é pre ciso que também se considere a largura dos obstáculos De um modo geral a largura de um obstáculo, introduzida CO mo um parâmetro na descrição analítica do processo, é com pletamente determinada pela natureza da interação entre os precipitados e a dislocação. Para muitos precipitados ela pode ser representada elasticamente como um centro de dila tação, o qual interage com a dislocação através do seu cam po de tensões. Logo, cada centro de dilatação define no in terior da matriz uma região de influência no interior daqual os átomos de soluto precipitaram (12).

Para o estudo do cizalhamento, a dislocação é considerada como um segmento flexível, ao qual é permiti

do independência de movimento sobre um plano arbitrado, sob a influência da tensão de linha. Desse modo, as seções vizi nhas da linha de dislocação poderão se movimentar parcial e independentemente dos demais segmentos, com total liberdade para assumir sempre que possível uma configuração de mínima energia, encurvando-se ao redor das regiões de grande energia de interação, como indica a figura 3. No entanto, ela não é tomada como um segmento perfeitamente flexível, já que não é possível contornar obstáculos de pequenas dimensões e muito pouco espaçados, como ocorre nos casos onde as barrei ras e vales do campo interno de tensões estão finamente dis pesos. Isto faz com que a linha de dislocação mantenha uma configuração muito próxima da configuração reta original.

Para uma dada concentração de precipitados - três situações podem ocorrer:

$$\frac{\lambda}{2} \ll \rho_{\min}$$

$$\approx \rho_{\min}$$

$$\Rightarrow \rho_{\min}$$
(10)

onde λ é o espaçamento médio entre os obstáculos.

No primeiro caso, a metade do espaçamento médio entre os precipitados é muito menor que o raio mínimo de curvatura. Este é o caso de obstáculos finamente dispersos no interior da matriz, como mostra a figura 3a. Muito embora a linha de dislocação seja fortemente desviada pelos campos lo calizados de tensões, isto não é suficiente para modificarde forma acentuada sua configuração original, de modo a provo

car encurvamentos pronunciados ,na região entre os obstáculos, mesmo a dislocação sendo flexível. Desse modo a linha de dis locação fica impedida de ocupar o fundo dos vales do interno de tensões pois como explicado anteriormente, a ten são de linha que passaria a atuar nos extremos do encurvado, evitaria que a dislocação abandonasse por comple to sua configuração original. Em razão disto a linha de dis locação se movimenta no interior da matriz como um segmento rigido, sob a ação de uma tensão aplicada. Com o aumento da distância entre os obstáculos, a dislocação ganha liberdade para ocupar posições cada vez mais próximas do fundo dos va les e com isso a linha de dislocação pode experimentar maio res encurvamentos na região entre os obstáculos, como é mos trado na figura 3b. Isto corresponde ao caso em que o raio mínimo de curvatura é ainda menor que a metade da distância entre os precipitados. Sob a ação de tensões aplicadas cres centes, os encurvamentos passam a aumentar independentemente uns dos outros, até a dislocação adquirir condições para ven cer as barreiras que se opõem ao seu movimento. Esta é a ra zão pela qual a liga apresenta tensões de fluxo maiores que a do primeiro caso, pois agora a dislocação ocupa uma posi ção bem mais próxima da de menor energia que corresponde à configuração do fundo dos vales do campo de tensões. Quando o raio minimo de curvatura é da ordem de grandeza da metade da distância entre os obstáculos, o mecanismo de Orowan (20) passa a controlar o movimento da dislocação através dos obs táculos, para uma dada tensão aplicada. Neste caso, a rela ção entre a tensão local e a tensão de linha é dada por

$$\frac{\mathbf{1}}{b \, \mathcal{O}_{\tilde{l}}} = \frac{\lambda}{2} \tag{11}$$

onde Υ é a tensão de linha, b o vetor de Burgers e σ_i é a tensão local. Esta relação indica que o comportamento de uma dislocação dentro do campo interno de tensões, depende do espaçamento médio entre os precipitados ou seja, da sua concentração na matriz. Desse modo a tensão de fluxo é tam bém fortemente influenciada pela escala de dispersão dos precipitados (19).

Aumentando ainda mais o espaçamento entre os obstáculos, haverá naturalmente uma maior facilidade para a ativação do mecanismo de Orowan, sob tensões aplicadas meno res que a máxima. Isto corresponde ao terceiro caso, onde a metade do espaçamento médio entre os obstáculos é muito ma ior que o raio mínimo de curvatura. É neste caso que são registrados os maiores encurvamentos, como indica a figura 3c.

A figura 4 apresenta as várias etapas de funcionamento do mecanismo proposto por Orowan para explicar o comportamento de uma dislocação móvel através de um conjunto de obstáculos rigidos, largamente espaçados. Ela mostra uma dislocação reta que se movimenta em direção a dois obstáculos; (i) a força atuante sobre a dislocação faz com que ela se dobre na região entre os obstáculos e (ii) esse en curvamento aumenta a medida que a força aplicada é também aumentada. (iii) Eventualmente os segmentos vizinhos da dislocação encurvada se juntam e então ela logra vencer os obstáculos, deixando anéis de dislocação em volta deles.

2.2 Interação entre precipitados e dislocações.

De um modo geral existem forças mútuas entre dislocações e precipitados. Estas forças são devidas a diferentes causas. A mais simples é a interação entre e os seus

campos de tensões elásticas. A resistência ao deslizamento é atribuida principalmente a esta interação.

Para a determinação da intensidade da força que atua sobre uma dislocação móvel no interior de um campo de tensões, devida ao desajuste atômico dos precipitados na matriz, é considerada como hipótese simplificadora que aprecipitação consista simplesmente na penetração dos átomos de soluto e sua distribuição em regiões definidas no interior da matriz, sem que seus raios atômicos se alterem durante o processo da precipitação. Ainda para efeito de simplificação dos cálculos, es precipitados são considerados como inclusões esféricas, as quais deformam determinadas regiões da rede cristalina de um modo esfericamente simétrico.

O campo de tensões que envolve qualquer uma dessas partículas é muito similar ao campo gerado, quando uma esfera rígida de raio \mathbf{r} é introduzida numa cavidade esférica de raio \mathbf{r}_0 diferente de \mathbf{r} , num meio elástico contínuo (9). Neste caso, o parâmetro de desajuste atômico é dado por $\mathbf{\epsilon} = (\mathbf{r} - \mathbf{r}_0)/\mathbf{r}$.

Naturalmente que, dentro deste contesto, qual quer uma dessas regiões da matriz, irá variar o seu raio de um fator múltiplo de (1 + €) quando os átomos da matriz forem substituídos pelos átomos de soluto na formação do precipitado.

No restante deste trabalho, será assumido por tanto, que o campo de tensões gerado pelos precipitados po de ser completamente descrito pelo modelo anteriormente des

crito.

A condição de equlibrio que deve ser satis feita pelo sistema formado do precipitado e da matriz, deve ser tal que as forças atuantes se compensem em cada elemento de volume $^{(5-8)}$. As equações de equlibrio, escritas a partir das equações (2), têm a forma

$$\frac{\partial \sigma_{ij}}{\partial x_i} = 0$$
 ; i,j = 1,2,3 (12)

onde foi assumido $f_j = 0$. O_{ij} é o tensor de tensão definido por (5-8)

sendo e_{ij} o tensor de deformação, λ e G dois parâmetros constantes que independem do sistema de coordenadas espaciais e_{ij} , e_{ij} = e_{ij} + e_{ij} + e_{ij} .

No caso de deformações infinitesimais, a equação (7) mostra que

$$e_{i,j} = \frac{1}{2} \left(\frac{\partial^{u}_{i}}{\partial^{x}_{j}} + \frac{\partial^{u}_{j}}{\partial^{x}_{i}} \right) ; i,j = 1,2,3$$

onde $\mathbf{v}_{\mathbf{i}}$ são as componentes do deslocamento de um ponto de observação.

Fazendo uso das relações (7) e (13), a equação (12) pode ser escrita como

$$\frac{\partial \sigma_{ij}}{\partial x_i} = G \frac{\partial^2 v_j}{\partial x_i^2} + \frac{1}{2} \lambda \frac{\partial^2 v_\ell}{\partial x_i \partial x_\ell} = 0 \quad ; i,j,\ell = 1,2,3$$

ou numa forma mais compacta,

$$\nabla^2 \vec{\overline{U}} + \frac{\lambda}{2 G} \nabla (\nabla \cdot \vec{\overline{U}}) = 0$$
 (14)

onde U como anteriormente definido é o vetor deslocamento do ponto em observação, tomado no interior da matriz.

A equação (14) pode ser reescrita numa forma mais cômoda, pelo emprego da relação vetorial

$$\nabla \times (\nabla \times \overrightarrow{\mathbf{U}}) = \nabla (\nabla \cdot \mathbf{U}) - \nabla^2 \overrightarrow{\mathbf{U}}$$

obtendo-se a seguinte expressão

$$\nabla (\nabla \cdot \overrightarrow{U}) - \frac{2G}{\lambda + 2G} \nabla \times (\nabla \times \overrightarrow{U}) = 0$$
 (15)

que é definida em qualquer sistema de coordenadas ortogonais.

Por outro lado, como o centro de dilatação é um precipitado de forma esférica, a solução da equação (15) fica grandemente simplificada, escolhendo um sistema de coor denadas esféricas centrado no próprio precipitado, como é in dicado na figura 5. Com isso o campo dos deslocamentos $\hat{\mathbf{U}}(\vec{\mathbf{R}})$ passa a ser apenas uma função da distância do ponto de obser vação à origem do sistema, ou seja

$$\overrightarrow{U}(\overrightarrow{R}) = U(R) \hat{R}$$

onde R é o versor da direção radial.

35

Devido a simetria do problema, a equação (15)

fica

$$\nabla (\nabla \cdot \mathbf{u}) = \frac{\mathrm{d}^2 \mathbf{u}}{\mathrm{d}\mathbf{R}^2} + \frac{2}{\mathbf{R}} \cdot \frac{\mathrm{d}\mathbf{u}}{\mathrm{d}\mathbf{R}} - \frac{2}{\mathbf{R}^2} \cdot \mathbf{u} = 0$$

cuja solução é

$$\mathbf{U}(\mathbf{R}) = \mathbf{A} \mathbf{R} + \mathbf{B} \mathbf{R}^{-2}$$

onde A e B são as constantes de integração.

Impondo sobre a solução encontrada condições limites nas quais U (R) seja nula para distâncias muito ma iores que r (o raio do precipitado) e que na sua superficie os deslocamentos radiais sejam | E | r , obtem-se como solução final

$$U(R) = |\epsilon| \cdot \left(\frac{\mathbf{r}}{R}\right)^3 R ; R \ge \mathbf{r}$$
 (16)

onde € é o fator de desajuste atômico do precipitado com a matriz, uma grandeza adimencional que pode assumir valores positivos ou negativos.

A partir da substituição da igualdade (16)em (7) e posteriormente o resultado em (13), facilmente se obterá uma expressão para o campo de tensões elásticas gerado per lo precipitado e sua interação com uma dislocação colocada às suas proximidades. A figura 6 mostra essa situação ou se ja, um precipitado localizado próximo a uma dislocação de cum nha inicialmente reta. A origem do sistema de coordenadas é colocada sobre o precipitado e as coordenadas da dislocação, a qual pode se movimentar apenas sobre o plano parale

ao plano Z = 0, são (-Y, -Z). O vetor de Burgers da dislocação po ção aponta na direção negativa do eixo Y e a dislocação po de se movimentar paralelamente ao eixo X. Essa figura mos tra que apenas a tensão σ_{yz} é capaz de exercer uma ação efe tiva que se opõe ao movimento da dislocação sobre aquele plano, na direção Y escolhida. O valor da tensão, obtido co mo indicado anteriormente é

$$\sigma_{yz} = -6 \text{ G} |\epsilon| r^3 \frac{YZ}{R^5} ; R \ge r \qquad (17a)$$

É evidente que no caso de uma dislocação de hélice com comprimento finito, em condições análogas à mos trada na figura 6, apenas a componente σ_{xz} do campo de ten sões é que pode interferir no seu movimento sobre o plano de deslizamento. Neste caso,

$$\sigma_{xz} = -6 \text{ G} \left| \epsilon \right| r^3 \frac{xz}{R^5} ; R \ge r$$
 (17b)

A força por unidade de comprimento que atu a sobre a linha de dislocação, de acordo com a relação (9) do capítulo anterior, é

$$F^{int} = b \sigma$$

onde 👉 , dependendo das características da dislocação po derá ser dada por uma das duas equações (17), ou por uma combinação linear daquelas expressões.

Para o caso de uma dislocação reta com carac terísticas iniciais de cunha (b apontando na direção Y) no interior do conjunto de precipitados de coordenadas (x_n, y_n, z_n) como é indicado na figura 6, a equação anterior fica

$$F_c^{int} = -6 \text{ G b} | \epsilon | r^3 \sum_{n} \frac{(Y_n - Y)(Z_n - Z)}{|R_n - R|^5} ; R \ge r \quad (18a)$$

onde se fez o uso da relação (17a), ou

$$F_{h}^{int} = -6 \text{ G b} | \epsilon | r^{3} \sum_{n} \frac{(X_{n} - X)(Z_{n} - Z)}{|R_{n} - R|^{5}} ; R \ge r \quad (18b)$$

para uma dislocação reta, com características iniciais de hélice (b apontando na direção X), onde foi usada agora a relação (17b).

2.3 Tensão de linha.

Uma dislocação reta, qualquer que seja o seu caráter, gera em torno de si um campo de deformações elásticas. A energia elástica por unidade de comprimento, armazena da num volume cilindrico de raio Λ , tendo como eixo a própria dislocação, é dada por (10)

$$W = \frac{G}{4\pi} \left[(\vec{b} \cdot \hat{t})^2 + \frac{(\vec{b} \times \hat{t})^2}{1 - \nu} \right] \ln \frac{\Lambda}{d^*}$$
 (19)

onde î é um vetor unitário tangente à linha de dislocação e do o raio do seu núcleo. A figura 7 indica que para uma dislocação reta, os deslocamentos dos pontos do interior do cilindro são iguais e independentes da coordenada X, o eixo do

cilindro, tal como acontece com os pontos p e q, os quais têm as mesmas coordenadas Y e Z. Isto se deve à própria sime tria do campo dos deslocamentos. Quando a dislocação por um processo qualquer perde sua forma retilinea, passando a apre sentar pequenas ondulações como as indicadas na figura, obvi amente que os deslocamentos daqueles pontos são modificados, pois a simetria cilindrica inicial é destruída. Alguns mentos da linha de dislocação na sua nova configuração ficam mais próximos do ponto q enquanto que outros, ficam mais distantes do ponto p, e desse modo, um novo conjunto de co ordenadas se faz necessário para exprimir os deslocamentos a tuais desses pontos. Agora eles também dependem da coordena da X. Num meio elástico contínuo e isótropo as distorções da rede cristalina, para distâncias R muito maiores que A, são as mesmas que se mediria, se a linha de dislocação ainda fos se reta. No entanto, na região onde R≤∧, além do seu pró prio campo existe um campo de deformações extras, de curto al cance, que se sobrepõe ao primeiro aditivamente. Este campo de deformações extras é gerado pela modificação da forma geo métrica da dislocação. Nestas condições, a linha de disloca ção adquire um estado de energia maior do que o da sma confi guração originalmente reta. Em consequência dos tos a linha de dislocação torna-se menos estável, o que leva a dislocação a apresentar uma tendência de readquirir sua for ma reta original, que é de menor energia. A esta é que se associa a tensão de linha, definida por (10,14-16)

$$T(\theta) = \lim_{\Delta L \to 0} \left(\frac{\Delta W(\theta)}{\Delta L} \right)$$
 (20)

onde ΔW (θ) é a variação da auto-energia da linha de dis

locação devida a modificação de sua forma geométrica e ΔL é o aumento do seu comprimento. Θ é o ângulo formado entre o vetor de Burgers da dislocação e sua configuração reta o riginal, como está indicado na figura 8.

Para pequenos encurvamentos, a variação da auto-energia por unidade de comprimento da linha de dislocação, é dada por

$$\Delta w(\Theta) = w(\Theta + \delta \Theta) - w(\Theta) \tag{21}$$

onde $\delta\theta$ é a variação angular na orientação do vetor de Burgers. Para o caso de $\delta\theta$ pequeno, a energia de interação en tre as partes vizinhas do segmento encurvado é muito peque na em relação a auto-energia da dislocação na sua forma inicialmente reta (21-24), razão pela qual ela não será incluida nos cálculos desenvolvidos em seguida.

Expandindo em série de Taylor o primeiro ter mo do segundo membro da igualdade (21), em torno do valor $\delta\theta$ = 0, obtem-se

$$W(\theta + \delta\theta) = W(\theta) + \frac{\delta W}{\delta \theta} + \frac{1}{2} \frac{\delta^2 W}{\delta \theta^2} | (\delta\theta)^2 + \cdots$$

Considerando agora que $\delta \theta$ tenha valor bem próximo de zero, a expansão anterior fica

$$W(\Theta + \delta\Theta) \cong W(\Theta) + \frac{\partial W}{\partial \Theta} + \frac{1}{2} \frac{\partial^2 W}{\partial \Theta^2} | (\delta\Theta)^2$$
 (22)

Por outro lado, de acordo com a consideração assumida e pala figura 8, tem-se

$$\delta\theta \cong + \propto \text{ para } \delta\ell^+$$

$$\cong - \propto \text{ para } \delta\ell^-$$
(23)

onde $\delta \ell^+$ e $\delta \ell^-$ são as variações no comprimento da disloca ção, nas porções da direita e da esquerda do segmento encur vado respectivamente. Ainda pela figura 8 obtem-se a seguin te relação

$$\delta \ell = \sqrt{1 + (\frac{\Delta Y}{\Delta X})^2} \cdot \Delta X$$

onde

$$\frac{\Delta Y}{\Delta X} = \tan \propto$$

e de acordo com (23), a igualdade anterior pode ser escrita como

$$\delta \ell = \sqrt{1 + \alpha^2} \cdot \Delta x$$

ou

$$\delta\ell \cong (1 + \frac{1}{2} \alpha^2) \Delta X$$

de onde se conclue que $\delta \ell^{\dagger} = \delta \ell^{-} = \delta \ell$. Rearranjando os termos da relação anteriormente obtida, tem-se

$$2 (\delta \ell - \Delta X) = \alpha^2 \Delta X \tag{24}$$

onde o primeiro membro da igualdade representa a alongamento total 🛕 L da linha de dislocação.

A variação total da auto-energia entre as configurações final e inicial, de acordo com a equação (21)é

$$\Delta W = W^{\dagger} \delta \ell^{\dagger} + W^{-} \delta \ell^{-} - 2. \Delta X. W(\theta)$$

Substituindo-se nesta igualdade as relações (22) e (23) obtem-se

$$\Delta W = (W(\Theta) + \frac{d^2W}{d\theta^2}) \cdot \infty^2 \Delta X$$

que en termos da igualdade (24) fica

$$\Delta W = (W(\Theta) + \frac{d^2W}{d\Theta^2}) \cdot \Delta L$$

e finalmente, a tensão de linha por unidade de comprimento da linha de dislocação, dependente da orientação do vetor de Burgers, de acordo com a definição (19) pode ser escrita na forma

$$\Upsilon(\Theta) = \Psi(\Theta) + \frac{d^2 \Psi}{d\Theta^2}$$

A força por unidade de comprimento da linha de dislocação é obtida a partir das equações (9) e (11) que dá

$$F^{T1} = b O$$

$$= T(\theta) \cdot \frac{1}{\rho}$$

onde

$$\frac{d\theta}{d\ell} = \frac{1}{\rho}$$

sendo ρ o raio de curvatura e θ o ângulo de orientação do vetor de Burgers em relação ao elemento d ℓ , tomado sobre a linha de dislocação.

Comparando-se as duas últimas igualdades obtem-se finalmente

$$\mathbf{F}^{\mathrm{Tl}} = \mathbf{T}'(\boldsymbol{\theta}) \cdot \frac{\mathrm{d}\,\boldsymbol{\theta}}{\mathrm{d}\,\boldsymbol{\ell}} \tag{25}$$

Capitulo 3

MÉTODO DE SIMULAÇÃO

No desenvolvimento do estudo simulado da ten são de fluxo para estruturas cristalinas com precipitados, procurou-se traduzir matematicamente de forma mais realista possível, toda a fenomenologia do processo da deformação plástica. O modelo construído é uma extensão de trabalhos re centemente desenvolvidos (1-4) para simular o movimento de uma dislocação no interior de sólidos cristalinos com precipita dos. Para os casos em que a linha de dislocação conserva uma configuração essencialmente reta, foi visto no capítulo terior, que dentre os fatores que influenciam mais acentua damente o movimento, é a interação entre os campos de sões elásticas dos precipitados e o da dislocação móvel, fator que dificulta a livre movimentação da dislocação atra vés do sólido, ao qual se associa a escala de dispersão cuelas partículas. Logo, o estudo é dirigido para a determi nação da tensão de fluxo como uma função das dimensões precipitados.

3.1 Comentários sobre a distribuição alestória dos precipitados.

O procedimento usado para a construção do mo

delo, diz respeito à realidade física da distribuição dos precipitados. Eles devem estar distribuidos aleatoriamente, pois seria esta a estrutura do equilibrio de solidificação da liga. Muito embora, pelo resfriamento da solução, outras distribuições possam ser possíveis devido a diminuição termo da entropia, em geral nessas temperaturas o coeficien te de difusão diminui bastante, fazendo com que prevaleça a distribuição aleatória. Por outro lado, conforme foi citado no capítulo anterior, os precipitados podem ser representa dos elasticamente como centros de dilatação, os quais defi nen em torno de si uma região de influência. Logo, uma des crição mais realista pode ser obtida, dividindo o espaço em células e introduzindo no interior da cada uma delas, um pre cipitado numa posição aleatória. Com isso a largura dos obs táculos passa a ser descrita analiticamente em termos das di mensões das células. Para facilitar os cálculos, as células foram consideradas com iguais dimensões D³ e os precipita dos, como inclusões esféricas de raios iguais. Todas as terfaces entre os precipitados e a matriz, são consideradas como completamente coerentes.

De acordo com as considerações anteriores, a concentração de precipitados na matriz é

$$C_{p} = \left(\frac{b}{D}\right)^{3} \tag{26}$$

A concentração de átomos de soluto na matriz quando completamente precipitados é

$$C_{s} = \frac{\frac{4}{3}\pi r^{3}}{p^{3}} \cdot \frac{n}{n+m}$$

onde n e m são respectivamente o número de átomos de so

luto e de solvente na composição da particula, sendo r seu raio. Esta definição, escrita numa forma aproximada fica

$$C_{s} \cong \frac{4n}{n+m} \left(\frac{r}{D}\right)^{3} = \beta \left(\frac{r}{D}\right)^{3} \tag{27}$$

Para a simulação é considerada uma estrutura com 600 células, distribuidas em grupos de 10 células na direção X, 20 na direção Y e 3 na direção Z. A posição dos precipitados no interior de cada célula é definida por uma tripla de números gerados aleatoriamente, que representam as co ordenadas (X,Y,Z) de um sistema de coordenadas retangulares, centrado na face frontal do conjunto, como mostra a figura 9.

3.2 Comentários sobre a simulação da tensão de fluxo.

Estabelecida a distribuição aleatória os precipitados, é iniciada a segunda etapa dos trabalhos na qual se faz a representação do comportamento de uma disloca ção flexível no interior do arranjo espacial daqueles obstá culos, sob a ação de uma tensão aplicada. Foi mostrado no ca pitulo anterior que o campo interno das tensões elásticas ge rado pelos precipitados exerce influência marcante so bre o movimento da dislocação e que muito embora a auto-ener gia da dislocação dependa da orientação do vetor de Burgers como está indicado na equação (19), quando se estuda a confi guração de equlibrio no campo das tensões internas, o que de sempenha papel de grande importância é a tensão de linha. Es ta não apenas depende da orientação desse vetor, como também leva em conta a sua variação devida aos encurvamentos da dis locação entre os obstáculos durante seu movimento, como in dica a equação (25).

Se a dislocação deve ficar em equilibrio es

tático em relação ao deslizamento, a condição que deve ser satisfeita pelas forças que atuam sobre a dislocação é

$$F^{A} + F^{Int} + F^{T1} = 0 (28)$$

onde F^A é a força aplicada externamente ao sólido, que de acordo com a relação (9) fica

$$F^{A} = \sigma^{A} b$$

F^{Int} e F^{T1} são respectivamente, a força de interação da da pela equação (18) e a força que se opõe aos encurvamentos da linha de dislocação, que é dada pela equação (25).

Em termos das relações anteriormente citadas a equação (28) passa a ser escrita como

$$\sigma^{A} b + 6 G b | \epsilon | r^{3} \sum_{n} \frac{(Y_{n} - Y)(Z_{n} - Z)}{|R_{n} - R|^{5}} + \Gamma(\theta) \frac{d\theta}{d\ell} = 0$$
 (29)

para a dislocação com características iniciais de cunha e

$$\sigma^{A} b + 6 G b | \epsilon | r^{3} \sum_{n} \frac{(x_{n} - x)(z_{n} - z)}{|R_{n} - R|^{5}} + \Gamma(\theta) \frac{d\theta}{d\ell} = 0$$
 (30)

para a dislocação com características iniciais de hélice .

Nas equações (29) e (30), θ é o ângulo entre o vetor de Burgers e o elemento $d\ell$ tomado ao longo da $l\underline{i}$ nha de dislocação, como mostra a figura 9.

Substituindo a definição (19) em (25), obtem -se para a tensão de linha a seguinte expressão

a qual para $\mathcal{V}=1/3$, que é um valor fisicamente razoável,po de ser escrita numa forma aproximada como (9)

$$\Upsilon(\theta) \cong \frac{1}{2} \quad \kappa(\theta) \quad G \quad b^2$$
 (31)

onde

$$K(\theta) = \frac{4}{3} - \sin^2 \theta$$

As equações (29) e (30) mostram que no mode lo em desenvolvimento não está sendo levada em conta a interação entre as partes do segmento encurvado. Logo, K(Θ) pode ser considerado como uma constante para pequenos encurvamentos, muito embora ele assuma valores diferentes para diferentes orientações originais da linha de dislocação.

As equações anteriormente citadas podem ser colocadas numa forma mais geral, a qual inclui também a lar gura dos obstáculos. Isto é feito através da normalização das distâncias nelas envolvidas, pelas dimensões das células de influência (D). O resultado que se obtem, após as simplificações convenientes é

$$O^{A} + \frac{6 \text{ Glelr}^{3}}{D^{3}} \sum_{n} \frac{f_{n} \eta_{n}}{\rho_{n}^{5}} + \frac{T(\theta)}{D} \frac{d\theta}{d\lambda} = 0$$
 (32)

Por outro lado, a relação (11), escrita na

$$O_{MO} = \frac{1}{2} \frac{\Gamma(\Theta)}{h D}$$
 (33)

dá a tensão necessária para dobrar um segmento da linha de dislocação entre dois obstáculos distanciados de D, sem a ajuda dos campos internos. Ela corresponde à tensão necessária para ativar os mecanismos de Orowan (MO). Logo, para o modelo em desenvolvimento é preciso que $\sigma^A < \sigma_{MO}$, ou seja a dislocação não deve sofrer encurvamentos acentuados.

Substituindo a condição (33) na equação (32) obtem-se uma representação adimensional para a equação (28), a qual tem a forma seguinte

$$t + t_i \sum_{n=1}^{9} \frac{\eta_n}{\rho_n^5} + \frac{1}{2} \frac{d\theta}{d\lambda} = 0$$
 (34)

onde os parâmetros t e t, dados por

$$t = \frac{\overline{O}^{A}}{\overline{O}_{MO}} = \frac{1}{K(\Theta)} \cdot \frac{\overline{O}^{A}}{G} \cdot \frac{D}{D}$$
 (35)

$$t_{i} = \frac{6|\epsilon|}{K(\theta)} \cdot (\frac{r}{D})^{3} \cdot \frac{D}{b}$$

$$= \frac{6|\epsilon|}{K(\theta)} \cdot c_{s} \cdot \frac{D}{b}$$
(36)

quando convenientemente simulados, podem reproduzir o processo do envelhecimento da liga, variando o tamanho do precipitado para uma concentração de átomos de soluto constante, através do estudo da variação da relação t/t, em função do parâmetro t, como será mostrado posteriormente.

3.3 Comentários sobre a simulação do movimento da disloca cão.

Após o estabelecimento das bases para a obten ção da tensão de fluxo simulada, em função das dimensões dos precipitados, faz-se o estudo da simulação do movimento dislocação. É considerada uma dislocação flexível, inicial mente reta e paralela ao eixo X, com liberdade para se movi mentar ao longo da direção Y, tendo como plano de mento o plano Z = 0, como está indicado na figura 9. A li nha de dislocação é dividida em segmentos iguais de compri mento D/20, para se obter uma maior precisão nos cálculos de equilibrio. Em seguida, é determinada a força atuante em ca da uma das extremidades dos segmentos, devida exclusivamente ao campo de tensões dos precipitados e a linha de dislo cação é deixada livre para se movimentar sobre o plano deslizamento, até atingir uma configuração de equilíbrio sob a influência da tensão de linha. A partir de então, é adici onada a força aplicada e nova configuração estável é calcu lada. A força aplicada é então aumentada discretamente e no vas configurações de equilibrio são determinadas, até o sis tema deixar de ser estável.

Por outro lado, o estudo do movimento através da equação (34) não considera o efeito da interface entre os precipitados e a matriz. Para o modelo, os precipitados são completamente coerentes. Logo, quando a dislocação atravessa as células em que o espaço foi dividido, podem ocorrer situações em que ela fique muito próxima de um dos centros de dilatação ou até mesmo coincida com alguns deles. Se isso ocorrer, de acordo com a equação (34), o segundo termo des

sa equação divergirá. Para evitar situações como estas que não tem significado físico, impôs-se como restrição à distribuição aleatória dos precipitados, que

$$|\rho_n| \ge \frac{r}{D}$$

ou de acordo com a relação (27)

$$|P_n| \ge \sqrt[3]{c_s/\beta}$$

que para valores fisicamente razoáveis de c_s e $oldsymbol{eta}$ dá

$$|\rho_n| \ge 0.1$$

o que permite recolocar na posição $Z_n = 10.1 \, D$ os precipitados que durante a distribuição aleatória, caiam no interior da região $|Z_n| < 0.1 \, D$, deixando porém imutável as coor denadas X_n e Y_n , o que é um fato bem razoável. Por outro lado, como o campo de tensões dos precipitados é de curto al cance (proporcionais a ρ^{-3}), nos cálculos de equilibrio são considerados apenas os precipitados que ficam contidos no interior de uma região esférica de raio ρ =1.5, tendo como centro cada um dos pontos definidos sobre a dislocação.

Como a equação (34) é válida apenas para os casos em que a linha de dislocação permanece essencialmente reta, foi feita a estimativa do intervalo de variação para o parâmetro $\mathbf{t_i}$. Isto foi feito, considerando—se a situa ção mais desfavorável que é a de uma estrutura completamen te ordenada, na qual a tensão média $\overline{O_i}$ na matriz seja da mesma ordem de grandeza da tensão na porção média da distân

cia entre dois precipitados, como é indicado na figura 10 . 0 valor que se obtem para $\overline{\sigma}_{\rm i}$, a partir da equação (33) é

$$\overline{O}_i = 6 \text{ GIE} \left(\frac{r}{D}\right)^3 \sum_{n} \frac{f_n \gamma_n}{\rho_n^5}$$

a cual para $\rho = 0.5$ e $f = \eta = \frac{1}{2} \rho \cos 45^\circ$, dá

$$\overline{C}_{i} = 48 \text{ GIE}(\frac{\mathbf{r}}{D})^{3}$$

$$= 48 \frac{\text{GIE}(c_{s})}{\beta}$$
(37)

A intensidade máxima é atingida quando D tor na-se igual a D_m . A partir desta condição o mecanismo de Orowan começa a atuar. Sob esta tensão o raio médio de cur vatura torna-se igual a $D_m/2$ e fazendo a substituição desse valor na relação (9), obtem-se

$$\overline{O}_{i} = \frac{1'(\theta)}{bD_{m}/2} = \frac{K(\theta) G b}{D_{m}}$$
(38)

Da comparação entre as igualdades (37) e (38) tem-se

$$\frac{D_{m}}{b} = \frac{K(\theta)}{48 |\epsilon| C_{s}}$$

a qual substituida em (36) dá

$$t_i = \frac{1}{8} \cdot \frac{D}{D_m}$$

donde se conclue que para $t_i < 0.1$, pelo menos em ordem de grandeza, a dislocação se movimentará mantendo uma configura ração essencialmente reta, compatível portanto com a equação (34).

Capitulo 4

TÉCNICAS DE COMPUTAÇÃO

O desenvolvimento dos trabalhos de computação é feito em distintas etapas de processamento. A finalidade deste procedimento empregado é não apenas facilitar a elaboração de cada uma das partes, como também possibilitar a redução do tempo de computação.

As técnicas desenvolvidas para o tratamento de cada etapa, são descritas a seguir:

i - Na primeira etapa é feita a construção do arranjo espacial de células cúbicas, em número de 600, num conjumo to de 10 x 20 x 3 células, nas direções X, Y e Z respectivamente, como foi descrito no capítulo anterior. No interior de cada célula é gerado uma tripla de números aleatórios Para representar as coordenadas do centro de dilatação, em relação ao sistema referencial mostrado na figura 9.

O programa de computação desenvolvido para a realização dos cálculos é chamado MATRIZ. Os resultados da execução são transformados num arquivo fonte, o qual é usado nos outros programas.

ii — A segunda etapa é voltada para a determinação das tem sões que atuam sobre a dislocação reta $(d\theta/d\lambda=0)$ e que corresponde ao caso limite de $t_i \rightarrow 0$.

Empregando-se a equação (34), escrita na fo<u>r</u>

$$M t + t_i \sum_{i=1}^{M} \frac{\xi_n \gamma_n}{\rho_n^5} = 0$$

onde M é o número total de pontos tomados sobre a linha de dislocação, obtem-se para a relação t/t, a seguinte expressão

$$\frac{t}{t_i} = -\frac{1}{M} \sum_{i=1}^{M} \sum_{n} \frac{f_n \eta_n}{\rho_n^5}$$
 (39)

Esta equação permite a determinação do valor máximo da relação t/t, , para o qual a dislocação reta ven ce todos os obstáculos ao seu movimento. Ela também permite que se obtenha as coordenadas do ponto onde ocorre o máximo valor daquela relação.

Os cálculos referentes a esta etapa são de senvolvidos através do programa de computação RETA.

rada flexível com tensão de linha dependente da orien tação do vetor de Burgers. A simulação é iniciada a partir de uma configuração arbitrária para a linha de dislocação. Diferindo da etapa anterior, a dislocação tem agora liberda de para se movimentar por si só e não com passadas pré esta belecidas. A figura 11 dá uma idéia do procedimento emprega do para simular o movimento da dislocação através do arran jo espacial de precipitados. Um ponto qualquer da linha de dislocação, como por exemplo o ponto 0, é movido de tal mo

do a satisfazer a equação (34) em relação à posição dos pontos vizinhos A e B, para um dado valor de t. O valor de té então aumentado e o ponto O é deslocado em relação à perpendicular ao segmento AB que o divide ao meio, até equação (34) ficar novamente satisfeita. Conhecida a nova posição O', obtem-se a partir daí as seguintes relações geométricas

$$d = \frac{x_A - x_B}{2 \cos \alpha}$$

$$\alpha = \tan^{-1} \left(\frac{Y_A - Y_B}{x_A - x_B} \right)$$

$$S = S_A = S_B = d / \cos(\theta/2)$$

que permitem determinar as coordenadas de 0', através de

$$\frac{1}{2} \frac{d\theta}{d\lambda} = \frac{\theta}{2S} = \frac{\cos(\theta/2)}{2d} = t + t_i \sum_{n} \frac{f_n \eta_n}{\rho_n^5}$$
 (40)

obtendo-se como resultado

$$X_0$$
, = $S \cdot Cos\left(\frac{\theta}{2} + \alpha\right)$
 Y_0 , = $S \cdot Sen\left(\frac{\theta}{2} + \alpha\right)$ (41)

A configuração de partida para a aplicação do método é obtida a partir de uma dislocação inicialmente reta, introduzida nas proximidades do ponto de máxima interação, obtido pelo método anterior. A dislocação é deixada

livre para procurar sua configuração de equilibrio sob a in fluencia da tensão de linha, para um pequeno valor do parâ metro t;. A partir de então, o valor de t é adicionado e em seguida faz-se a determinação da nova configuração de equi librio através das equações (40) e (41). O valor de t é mentado discretamente e novas configurações estáveis são de terminadas, até o sistema deixar de ser estável. Em seguida o valor de t. é aumentado e o processo é repetido, porém pa ra cada valor particular desse parâmetro é tomada como con figuração de partida, a última configuração estável. Para ob ter as sucessivas configurações que aproximam à ção de equilíbrio, utilizou-se como procedimento adicional, fazer a variação das coordenadas X e Y de cada um dos tos da linha de dislocação, começando por um dos seus extre mos até o extremo oposto e em seguida voltando ao ponto partida, obdecendo sempre as equações (40) e (41). Foram usa das como condições de contorno periódicas nos extremos da li nha de dislocação, sua imagem especular como indica ra 12. Tal procedimento é continuado até a completa lização do sistema. Os valores da tensão de fluxo simulada, para os distintos valores dos parâmetros t, são obtidos pe la média entre o valor de t correspondente a última configu ração de equlibrio e a seguinte, guando essa condição não ma is pode ser obtida. Os cálculos computacionais das rações estáveis foram realizados através do programa FLEX.

O programa auxiliar que introduz a linha de dislocação reta na matriz, nas proximidades do ponto de inte ração máxima é chamado AUXIL. Este e os demais programas an teriormente citados, estão listados no apêndica.

Antes da utilização do último método descri

to na terceira etapa, outras tentativas foram feitas para traduzir o comportamento da dislocação no interior da matriz, sob a influência da tensão de linha. Na primeira delas, utilizou-se a equação (34) escrita na forma

$$t_{m} = t + t_{i} \sum_{n} \frac{f_{n} \, \eta_{n}}{\rho_{n}^{5}} + \frac{1}{2} \frac{d\theta}{d\lambda}$$
 (42)

e os cálculos foram desenvolvidos a partir de um dos extre mos da linha de dislocação. Escolhido o ponto, este é movi do na direção Y sobre o plano Z = 0, em passadas uniformes de ±0.1 D, até se obter para t um valor bem próximo zero, mantendo os demais pontos fixos. Em seguida, toma-se o segundo ponto movimentando-o de modo idêntico ao anterior até a equação (42) ficar satisfeita, com os pontos vizinhos fixos nas suas posições. Este procedimento é continuado até atingir o outro extremo da linha de dislocação, quando tão o percurso é repetido em sentido contrário ao primeiro. assegurando-se com isso, a relaxação da tensão atuante. Aqui também são usadas condições de contorno periódicas nos extre mos da linha de dislocação, ou seja a reflexão especular. figura 13 dá uma idéia do procedimento descrito. No entanto, este método não se revelou favorável, pois além do tempo de computação ser excessivamente grande, a dislocação apresenta encurvamentos acentuados, fato que não é compatível com o com portamento esperado. Em razão disto, ele foi abandonado.

O segundo método desenvolvido, foi um aperfei coamento do caso anterior. Partindo de uma configuração arbitrária para a linha de dislocação, faz-se o movimento dos por tos representativos da linha de dislocação, como está indica

do na figura 14. O método consiste em movimentar um ponto como por exemplo o ponto O, de tal modo que se cumpra a condição do modelo anterior, com respeito à condição de mínimo va lor (bem próximo de zero) do parâmetro t, dado pela equação (42), em relação a posição fixa dos pontos vizinhos designados por A(antes) e B(depois do movimento). A configuração relaxada é obtida através das relações geométricas

$$\Delta \theta = \delta_{A} + \delta_{B}$$

$$S_{A} + S_{B} = \Delta X \cdot \left(\frac{1}{\cos \delta_{A}} + \frac{1}{\cos \delta_{B}}\right)$$

$$\frac{Y_{2}}{\Delta X} = \frac{Y_{B} - Y_{A}}{\Delta X} = \tan \delta_{A} - \tan \delta_{B}$$
 (43)

Assim podemos determinar δ_{B} de

$$\frac{\Delta \theta}{S_A + S_B} = t + t_i \sum_{n=1}^{\infty} \frac{s_n \eta_n}{\rho_n^5}$$

sendo $\delta_{_{
m A}}$ dado pela equação (43).

Este modelo se mostrou satisfatório, no en tanto o tempo de computação exigido para a completa relaxação é também muito grande. Isto é que levou ao método descrito na terceira etapa, onde foi obtida uma mais rápida convergência, mas mesmo assim o tempo de computação é ainda grande. Em decorrência disso e como a determinação do valor de t/tipara o caso em que tiro é apenas um cálculo relativamente simples, como indicado na equação (39), o qual não exige tem

pos de computação muito grandes, foi possível fazer cálculos estatísticos para este caso e não para a curva toda.

Capitulo 5

INTERPRETAÇÃO DOS RESULTADOS

Para o desenvolvimento dos cálculos da simula ção do movimento da dislocação através do arranjo espacial de precipitados foi utilizado um computador digital modelo Dec. System 10.

Os precipitados são representados no processo por centros de dilatação e suas regiões de influência por cé lulas cúbicas de iguais dimensões (D³). O posicionamento dos centros de dilatação dentro das células é feito através de uma tripla de números gerados aleatoriamente, procurandose com isso traduzir da forma mais realistica possível a estrutura do equilíbrio de solidificação de uma liga. Neste trabalho, é considerado uma estrutura de 600 células em grupos de 10 células na direção X, 20 na direção Y e 3 na Z, como é indicado no terceiro capítulo. Muito embora a distribuição se ja aleatória, os centros de dilatação mais próximos do plano de deslizamento ficam distanciados deste de ± 0.1 D.

Seguindo o roteiro descrito no quarto capítulo para as diversas etapas dos trabalhos, fez-se a determinação da máxima interação com uma dislocação reta. Com isso o tempo de computação pode ser grandemente reduzido, pois em vez de fazer o movimento da dislocação através de toda a extensão da matriz, fez-se apenas a determinação do valor de

t necessário para fazer a dislocação atravessar aquela região de máxima oposição ao seu movimento.

Para a determinação do limite inferior da tensão de fluxo simulada, o qual corresponde ao caso limite quando $t_i \rightarrow 0$, foram estudadas doze estruturas espaciais distintas, apenas para o caso de uma dislocação de cunha. O resultado obtido para a relação t/t_1 foi 8.8 ± 0.6 . Para a dislocação de hélice, foi estudada somente uma estrutura, em razão de se ter obtido para a tensão de fluxo normalizada, um valor muito menor que o do caso anterior $(t/t_i = 0.3)$. Conforme será mostrado mais adiante, esse valor não ajusta os dados experimentais.

Na determinação das tensões de fluxo normali zadas para os distintos valores de t. foi verificado que as variações nas posições das sucessivas configurações da linha de dislocação, após cada ciclo de cálculos, diminuíam a medi da que ela tendia para a configuração estável. No entanto, em muitos casos essas variações de início diminuiam porém em seguida passavam a aumentar continuadamente, até a disloca ção atravessar completamente a região de máxima oposição ao seu movimento. No caso em que a estabilização tornava-se ca da vez mais evidente, foi constatado um comportamento assin tótico que indicava a necessidade de se tomar um tempo infi nito de computação, para que a condição de completa estabi lidade fosse atingida. O problema foi minimizado, com a con sideração de que a completa relaxação das forças atuantes so bre a dislocação era atingida, quando a soma dos 🕇 dada 🖭 la equação (42) acusasse um valor menor que 1% do valor cor respondente ao primeiro ciclo dos cálculos. A simulação iniciada a partir de uma configuração originalmente reta

de um valor bem pequeno para o parâmetro t, escolhido co mo 10^{-4} e fazendo-se t = 0 deixa-se a linha de dislocação relaxar sob a influência da tensão de linha até ser atingi da a configuração de equilibrio, o que foi obtida depois de 700 ciclos. Em seguida o parâmetro t é aumentado discreta mente mantendo-se porém constante o valor de t, permitin do-se contudo que ocorra a relaxação para cada valor cular de t. Isto é feito até não ser mais possível uma configuração estável para a linha de dislocação.0 valor t correspondente à condição limite de estabilidade obtido fazendo-se a média entre os valores da última confi guração estável e aquela onde isto não mais se verificou Em seguida toma-se para t; um outro valor maior que o terior e considera-se como configuração de partida a última configuração estável (a de maior t). O procedimento anteri or é então repetido, o mesmo sendo feito para os distintos valores crescentes de t, , até às proximidades do máximo valor a ele permitido, que foi estimado em $t_i < 0.1$, como indicado no capítulo 3.

A tebela I abaixo, mostra os valores simula dos da relação t/t_i , para dislocações com características i niciais de cunha e de hélice, para uma única configuração de precipitados.

			74	t _i	x	104		
		0	1	5	10	50	100	500
t	Cunha	10.5	15.5	18.8	19.8	20.5	20.8	21.0
ti	Hélice	0.30	0.50	0.70	0.80	0.90	0.95	0.96

Por outro lado, as equações (35) e (36)escritas na forma

$$\frac{t}{t_{i}} = \frac{\beta}{6|\epsilon|c_{s}} \cdot \frac{\sigma}{G}$$

$$t_{i} = \frac{6|\epsilon|}{\kappa(\theta)} \cdot \sqrt[3]{\frac{c_{s}^{2}}{\beta^{2}}} \cdot \frac{r}{b}$$
(44)

com a ajuda da definição (27), mostram que para uma dada con centração de solutos C, constante, o aumento de t; ponde ao crescimento das dimensões dos precipitados, o que na turalmente implica no aumento da distância entre essas partí culas, devido a continuidade do processo de precipitação, co mo está implicito na equação (36). Daí a grande vantagem se ter incluído na descrição analítica do processo da mação plástica, a largura dos obstáculos ou seja, a dimensão D da célula de influência. Isto não apenas permite a simula ção única para um grande intervalo de dimensões dos precipi tados, como também torna independente das características fi sicas e quimicas dos materiais que constituem a liga, os râmetros t e t, da simulação, como indica a equação (34). Em consequência disso, obtem-se o que se constitue numa par te importante deste trabalho que é a normalização das tensões de fluxo para precipitados com distintas dimensões, a uma úni ca curva padrão. Esta curva, como se mostra na figura 15 pode ser confrontada com dados experimentais, respeitando natural mente a ocorrência de êrros experimentais. Essa figura mostra a variação da retação t/t, com respeito ao parâmetro t, pa ra a dislocação de cunha. O limite inferior corresponde ao va

lor assintótico dessa relação quando t - 0. O valor máximo de acordo com a estimativa feita no terceiro capítulo, deve ficar em torno de 0.1. Para valores de t, maiores que 0.1 é esperado que o movimento passe a ser controlado pelo meca nismo de Orowan, como está indicado na figura 4, o que certa mente diminuiria o valor da relação t/t;. Quanto aos res compreendidos entre os dois limites, isto está perfeita mente razoável pois para uma concentração de solutos constan te, quando t, é pequeno os precipitados são de pequenas mensões e ficam muito pouco espaçados na matriz. Com isso, a dislocação fica impedida de ocupar o fundo dos vales do cam po das tensões internas gerado por essas partículas, finamen te dispersas. Isto iria requerer tensões aplicadas fortissi mas para compensar a ação da tensão de linha originada pelos encurvamentos acentuados, o que não pode ser obtido. quentemente, a dislocação se movimenta como um todo através da matriz, mantendo uma configuração essencialmente reta, a partir de um certo valor de parâmetro t. Com o aumento det. cresce também o espaçamento entre os precipitados e a linha de dislocação ganha liberdade para assumir configurações bem mais parecidas com a do fundo dos vales, o que justifica aumento verificado na tensão de fluxo, pois ela vai se distan ciando cada vez mais do tôpo das barreiras que se opõem ao seu movimento.

Na figura 16 estão representadas as configurações da linha de dislocação, para distintos valores de t_i, correspondentes a última configuração estável e para o caso de uma dislocação de cunha. Quando t_i é pequeno, a dislocação permanece essencialmente reta. A medida que t_i aumenta ela começa a sofrer encurvamentos suáveis em torno da região

de maior tensão de interação, a qual está situada em torno da posição X/D = 9.0 .

Nas figuras 17-21, é feita a comparação en tre os valores simulados e dados experimentais, para diver sas ligas, com distintas concentrações de soluto, obtidos em literaturas recentes (29-31). Foi encontrado bom acordo.

Estes mesmos estudos, para a dislocação de hélice são mostrados nas figuras 22 e 23. Na figura 23 o ponto em torno do qual a linha começa a se encurvar é dado por X/D=8.0.

A comparação entre valores simulados e dados experimentais mostrou que a contribuição da dislocação de hélice para o fluxo plástico é desprezível em comparação ao da dislocação de cunha.

Capitulo 6

DISCUSSÃO

No desenvolvimento do modelo idealizado para o estudo do movimento de uma dislocação através de um arran jo espacial de precipitados, algumas hipóteses simplificado ras foram assumidas, muitas delas visando a redução do tempo de computação. Outras foram consideradas devido a grande ficuldade em se descrever matematicamente o comportamento de determinados fatores, como é o caso da variação das rísticas da interface entre a matriz e os precipitados, pelo crescimento destes durante a precipitação. As limitações postas ao modelo e que são inerentes ao processo de deforma ção plástica, certamente trariam modificações no valor da ten são de fluxo simulada. No entanto como tais contribuições são aditivas às consideradas, não há perdas de generalidades no problema estudade. As limitações dizem repeito em ro lugar aos cálculos de equilibrio desenvolvidos com o da equação (34), os quais são válidos apenas quando a de dislocação durante o seu movimento conserva uma configura ção essencialmente reta. Isto ocorre nos casos em que o par<u>â</u> metro t, é menor que 0.1, quando o raio de curvatura segmento de dislocação é maior que a distancia média entre os precipitados. Nestas condições, durante o movimento da dislo cação o parâmetro K(0) que aparece nas igualdades (44)

experimenta grandes modificações, o que torna possível usar os valores de 1/3 para a dislocação com característica ini cial de cunha e 4/3 para a de hélice. Por outro lado, pa ra encurvamentos maiores que o máximo permitido para o mode lo, quando então a dislocação lograria vencer os obstáculos pelos mecanismos de Orowan, como é ilustrado na figura 4.0s resultados que poderíamos obter da simulação, certamente presentariam uma aproximação muito pobre se comparados dados experimentais. Isto prende-se ao fato de que nestesca sos, para a tensão de linha dependente da orientação do tor de Burgers, o parâmetro t. não poderia mais ser toma do como uma propriedade local. Ele passaria a depender mais acentuadamente da configuração assumida pela linha de dislo cação durante as diversas etapas do movimento simulado.Para uma descrição mais realista, se deveria incluir em adição à descrição analítica do processo, a interação entre os vários segmentos das partes encurvadas da dislocação, o que muito embora fácil de ser tratado matematicamente (13), iria propor cionar um aumento considerável no tempo de computação.

A segunda limitação imposta, está relacionada com o fato de não ter sido possível incluir nos cálculos a influência das interfaces entre os precipitados e a matriz, quando eles são atravessados pela dislocação. Desse modo para a simulação, os precipitados são considerados como partículas completamente coerentes com a matriz, por todo o intervalo de variação permitido para tiral Além disso, os precipitados são considerados todos com mesmas dimensões e for ma esfericamente simétrica.

Finalmente como última limitação imposta ao modelo, foi considerado que o campo de tensões elásticas ge rados pelos precipitados tem sua origem no desajuste atômi

co deles com a matriz. A razão de não se ter levado em conta a diferença entre os seus módulos de elasticidade é que tal contribuição influencia muito pouco na resistência ao deslizamento, como foi demonstrado no recente trabalho de Kuo e Arsenault (3).

Dentro do contesto das limitações impostas ao modelo desenvolvido, as quais de um modo geral não são mais restritivas que as considerações feitas por outros pesquiza dores (1-4,24-28), era de esperar que os dados is (29-31) quando normalizados em termos dos parâmetros da s<u>i</u> mulação (t/t, e t,), ficassem de certo modo ajustados à curva padrão dos resultados simulados. Isto é mostrado figuras 17-20, para ligas de Cu-Co, Al-Zn e Cu₂Au-Co. A figu ra 21 mostra a ajustagem de todos aqueles dados experimenta is à curva padrão, para o caso de uma dislocação com caracte risticas iniciais de cunha. Dentro de certa margem de êrros experimentais, o acordo encontrado é bom. Por outro lado, os dados experimentais disponíveis são bastante limitados. A ma ioria dos estudos até então realizados apresentam apenas variação de 0/G como uma função do tempo de envelhecimento da liga e não do tamanho do precipitado. Além do mais, os da dos pertencem a um intervalo de variação muito pequeno compa rado com o dos valores simulados. Isto prende-se ao fato de ser difícil a medição do tamanho dos precipitados, abaixo de uma certa faixa de valores, normalmente compreendida 10Å e 40Å. Um outro fator que dificulta bastante a obten ção de dados correspondentes a pequenos valores do parâmetro t; é que isto está relacionado a baixa concentração de solu tos. Neste caso, para haver a precipitação, a solubilidade da liga deve ser muito próxima de zero.

Os resultados simulados mostram que para o ca

so de uma dislocação com características iniciais de hélice os resultados obtidos não ajustam os dados experimentais,co mo indicam os valores constantes da tabela I.

Este trabalho pode ser considerado como representativo do comportamento de uma dislocação no in terior de um sólido cristalino com precipitados. Muito embo ra o modelo apresente uma série de limitações, isto não impede que ele seja tomado como uma extensão mais realista dentre as pesquizas realizadas até agora (1-4,29-31).

Capitulo 7

CONCLUSÕES

- 1. Foi simulado o movimento de uma dislocação flexível com características iniciais de cunha e de hélice a través de um arranjo espacial de precipitados.
- 2. Foi verificado que a tensão de fluxo simulada a par tir de uma dislocação de hélice é muito pequena com parada com dados experimentais.
- 3. Para o caso de uma dislocação de cunha, na representação dos valores da tensão de fluxo para dados experimentais disponíveis de endurecimento por precipitação, foi encontrado que a normalização dos valores em função dos parâmetros t/t; e t; , faz com que eles coincidam com a curva padrão dos valores simulados.
- 4. Dentro de uma certa margem de êrros experimentais foi encontrado bom acordo entre resultados simula dos e dados experimentais.

REFERÊNCIAS

BIBLIOGRÁFICAS

- (1) Ono, K., Intern. Conf. Strength Metals Alloys, Vol.I, Cambridge (1976).
- (2) Labusch, R. and Schwarz, R.B., Computor Simulation for Materials Application, Vol. II, NBS (1976).
- (3) Kuo, C.T.K. and Arsenault, R.J., Mater. Sci. Eng., <u>27</u>, 11 (1976).
- (4) Labusch, R., Acta Met., 20, 917 (1972).
- (5) Fung, Y.C., Foundations of Solid Mechanics, Prentice-Hill Inc. NY (1965).
- (6) Landau, L. et Lifchitz, E., Théorie de L'Élasticité, âditions Mir, Moscou (1967).
- (7) Sokolnikoff, I.S., Tensor Analisis, John Wiley and Sons Inc. NY (1965).
- (8) Schoeck, G., Notas dos seminários ministrados na Unicamp em 1978.
- (9) Weertman, J. and Weertman, J.R., Théorie Élémentaire des Dislocations, Manson et Cie. Éditeur (1970).
- (10) Hirth, J.P. and Loth, J., Theory of Dislocations, McGraw Hill, NY (1968).

- (11) Peach, M. and Koehler, J.S., Phys. Rev. 80, 436 (1950).
- (12) Bacon, J.D., Barnett, D.M. and Scattergood, R.O., Prog.in Mater. Sci., 23 (1978).
- (13) Dieter, G.E., Mechanical Metallurgy, McGraw-Hill Co., NY (1964).
- (14) Friedel, J., Dislocations, Addison-Wesley Co., London (1964).
- (15) Kelly, A. and Nicholson, R.B., Prog. in Mater. Sci., 10 (1963).
- (16) Mott, N.F. and Nabarro, F.R.N., Stregth of Solid, Phys. Soc., London (1948).
- (17) Cottrell, A.H., Dislocation and Plastic Flow in Crystals
 Oxford Univ. Press (1953).
- (18) Labusch, R., Phys. Status Solidi, 41, 659 (1972).
- (19) Guinier, A., J. Phys. Radium, 3, 124 (1942).
- (20) Orowan, E., Discussion Symposium on Internal Stress, Inst. Metals, London (1952).
- (21) Eshelby, J.D., Solid State Phys., 3, 79 (1956).
- (22) Nabarro, F.R., Basinki, Z.S. and Holt, D.B., Ad. Phys., 13
 193 (1964).
- (23) Nabarro, F.R., Theory of Crystal Dislocation, Oxford (1961).
- (24) Brown, L.M., Phil. Mag., 10, 441 (1964).

(25) Fleischer, R.L., Acta Met., 9, 966 (1961).

(26) Idem $\underline{10}$, 835 (1962).

(27) Boser, O., J. Appl. Phys., <u>44</u>, 1033 (1973).

(28) Idem <u>44</u>, 1038 (1973).

(29) Witt, M. and Gerold, V., Scripta Met., $\underline{3}$, 371 (1969).

(30) Ibrahim, I.A. and Ardell, A.J., Acta Met., <u>25</u>, 1231, (1977).

(31) Amin, K.E., Gerold, V. and Kralik, G., J. Mater. Sci., <u>10</u> 1519 (1975).

FIGURAS

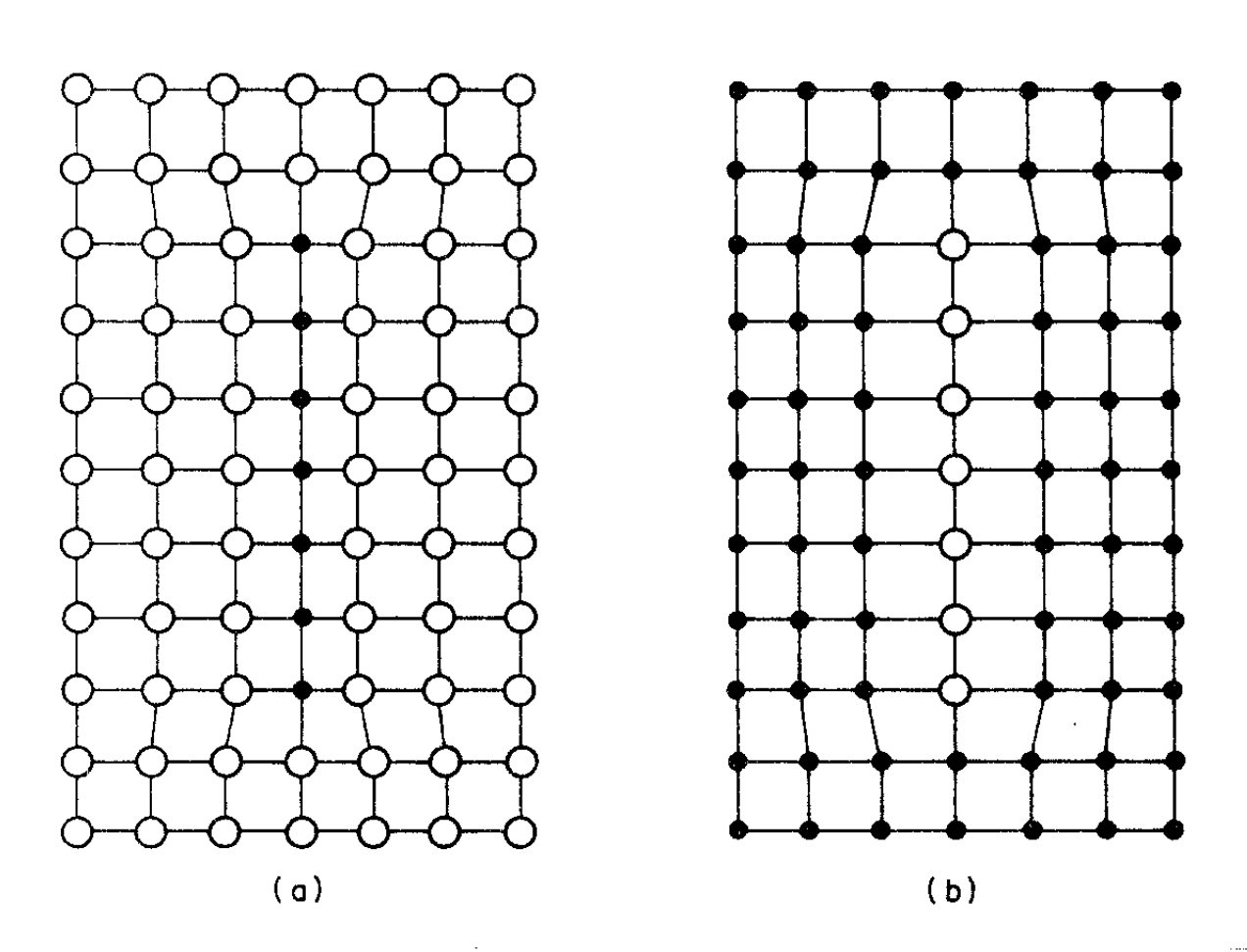


Fig. 1 - Representação esquemática de precipitados que surgem em deformações coerentes.

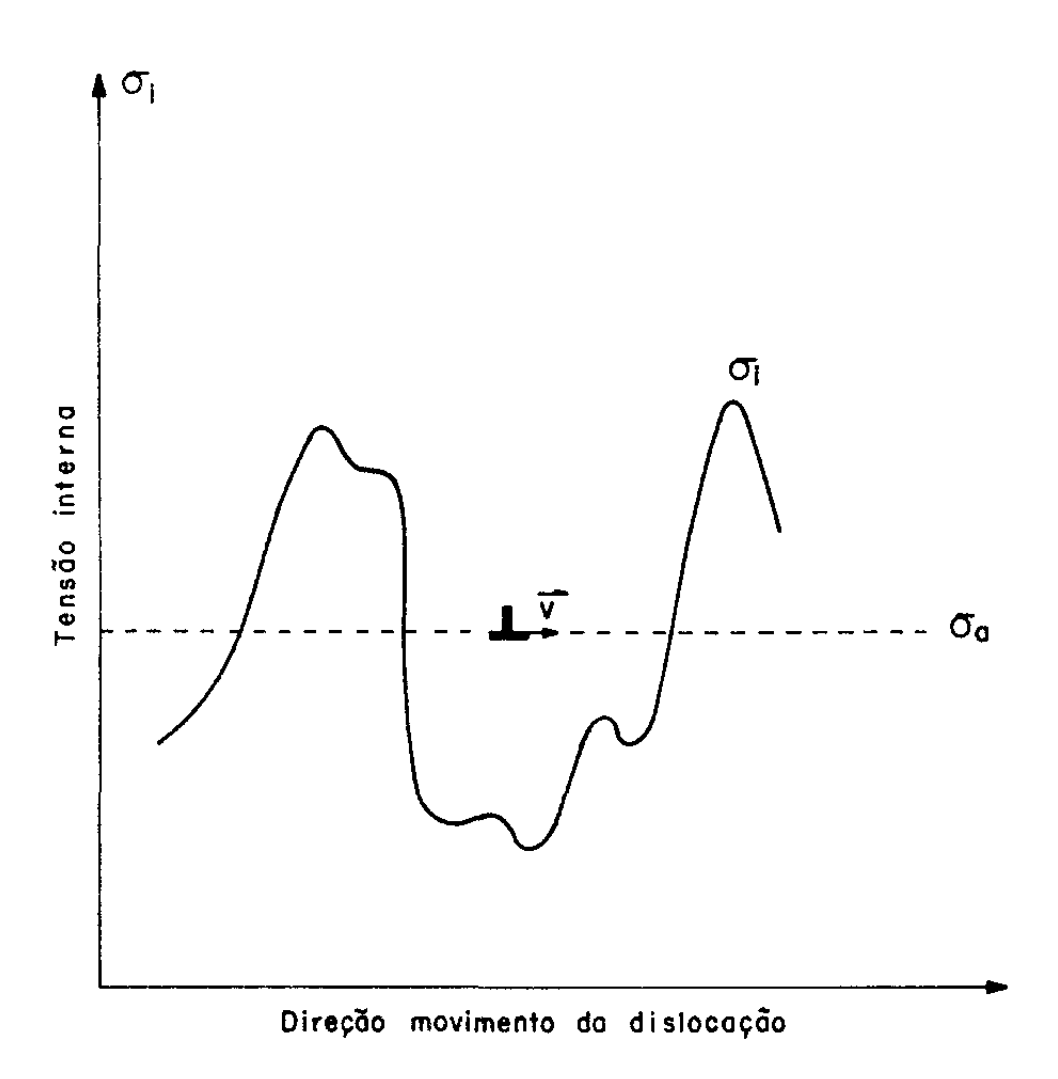


Fig. 2 - Campo interno a ser vencido pela dislocação móvel, sob a ação de uma ten são aplicada.

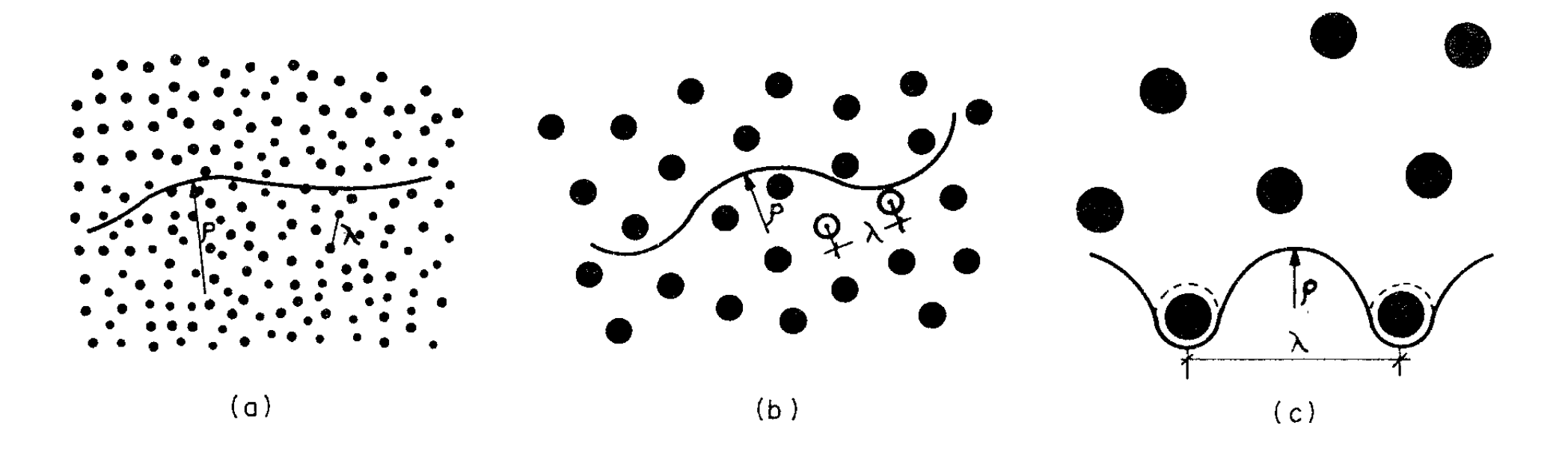


Fig. 3 - Movimento de uma dislocação através de um arranjo espacial de obstáculos - aspecto de configuração geométrica da linha de dislocação.

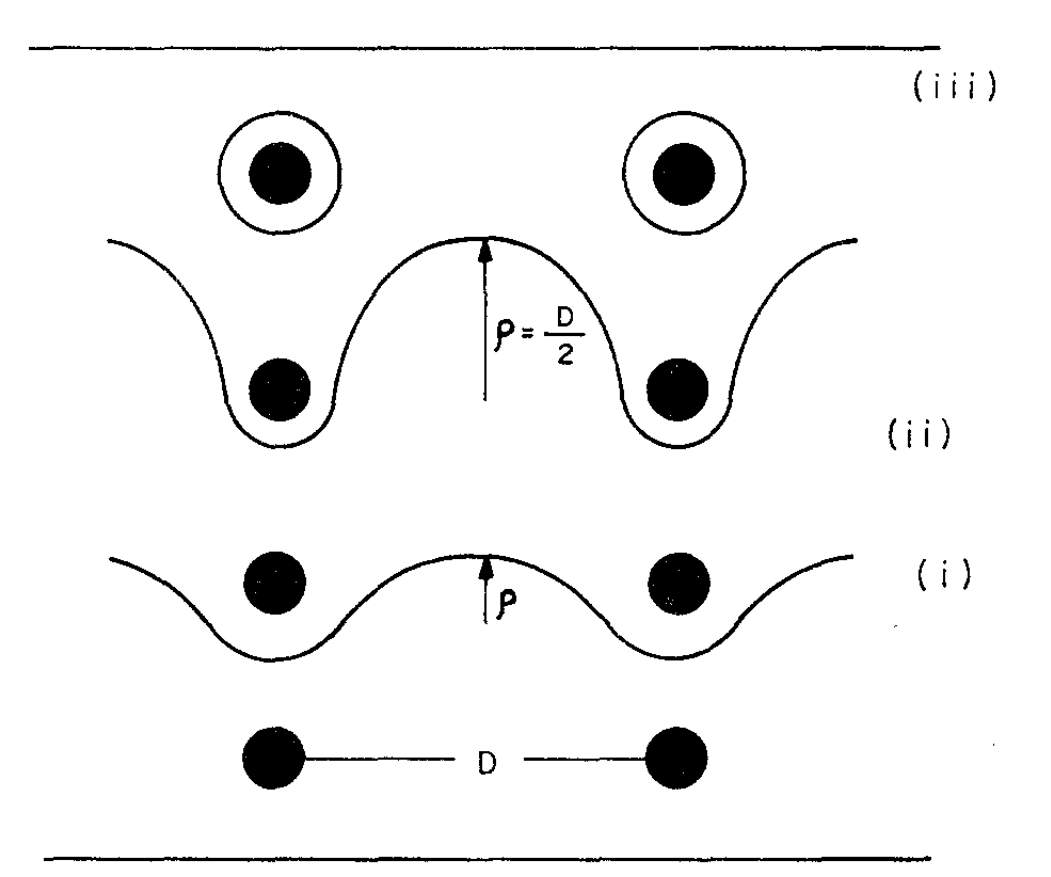


Fig. 4 - Mecanismo proposto por Orowan para explicar a passagem da dislocação através de obstáculos rigidos largamen te espaçados.

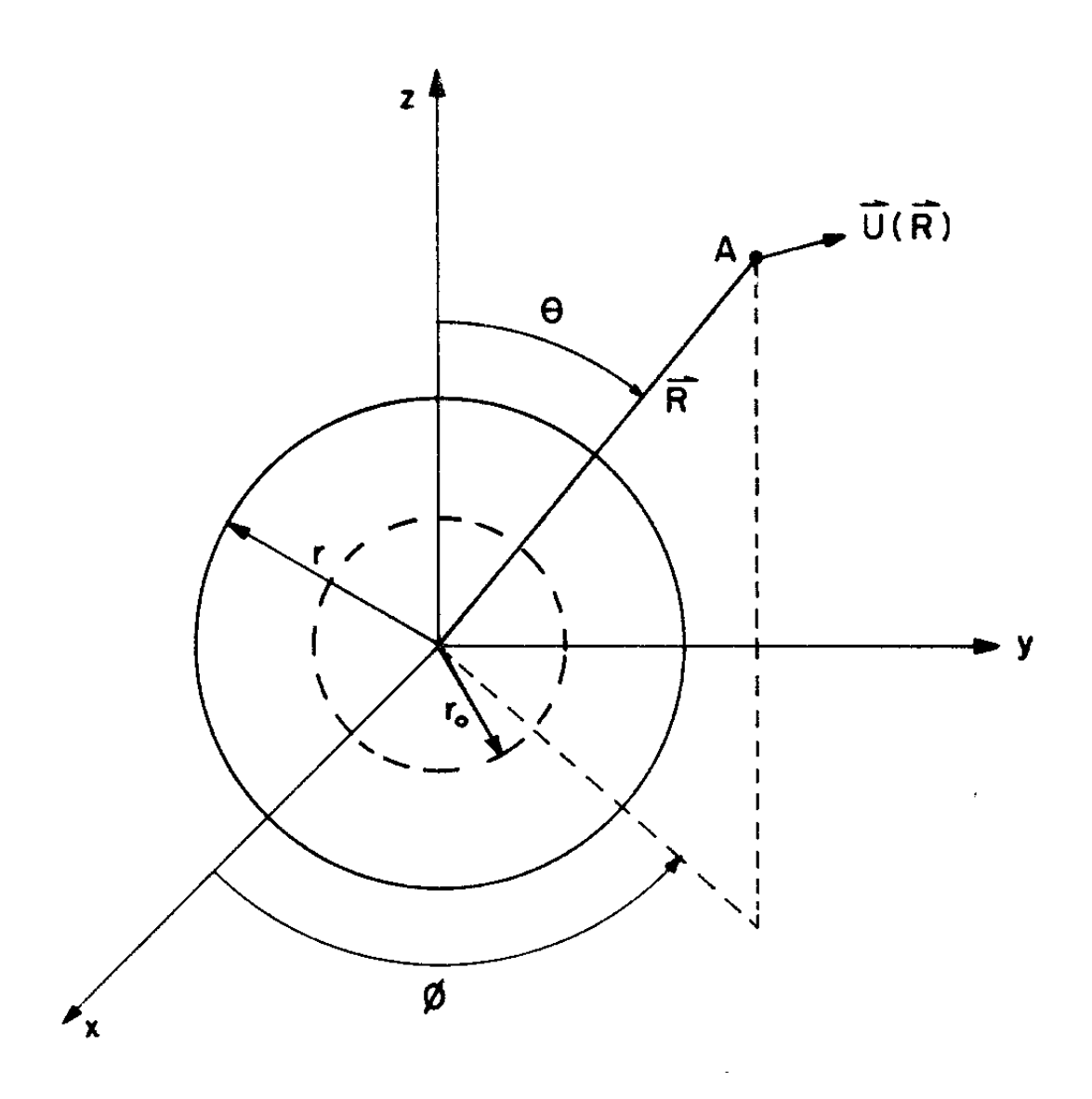


Fig. 5 - Campo dos deslocamentos devido a intro dução de um obstáculo com simetria esférica na matriz.

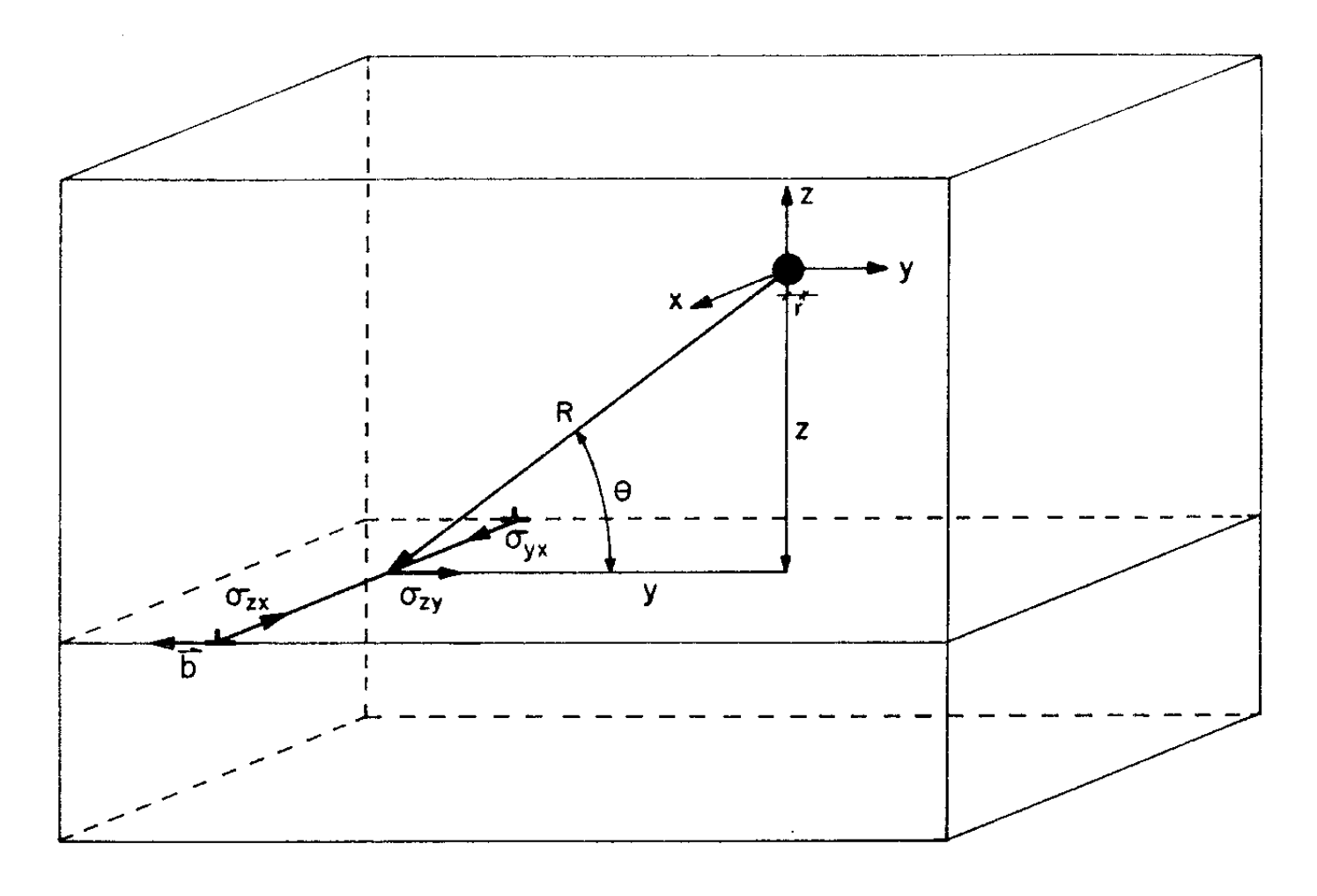


Fig. 6 - Ação do campo elástico gerado por um precipi tado sobre uma dislocação localizada na sua vizinhança.

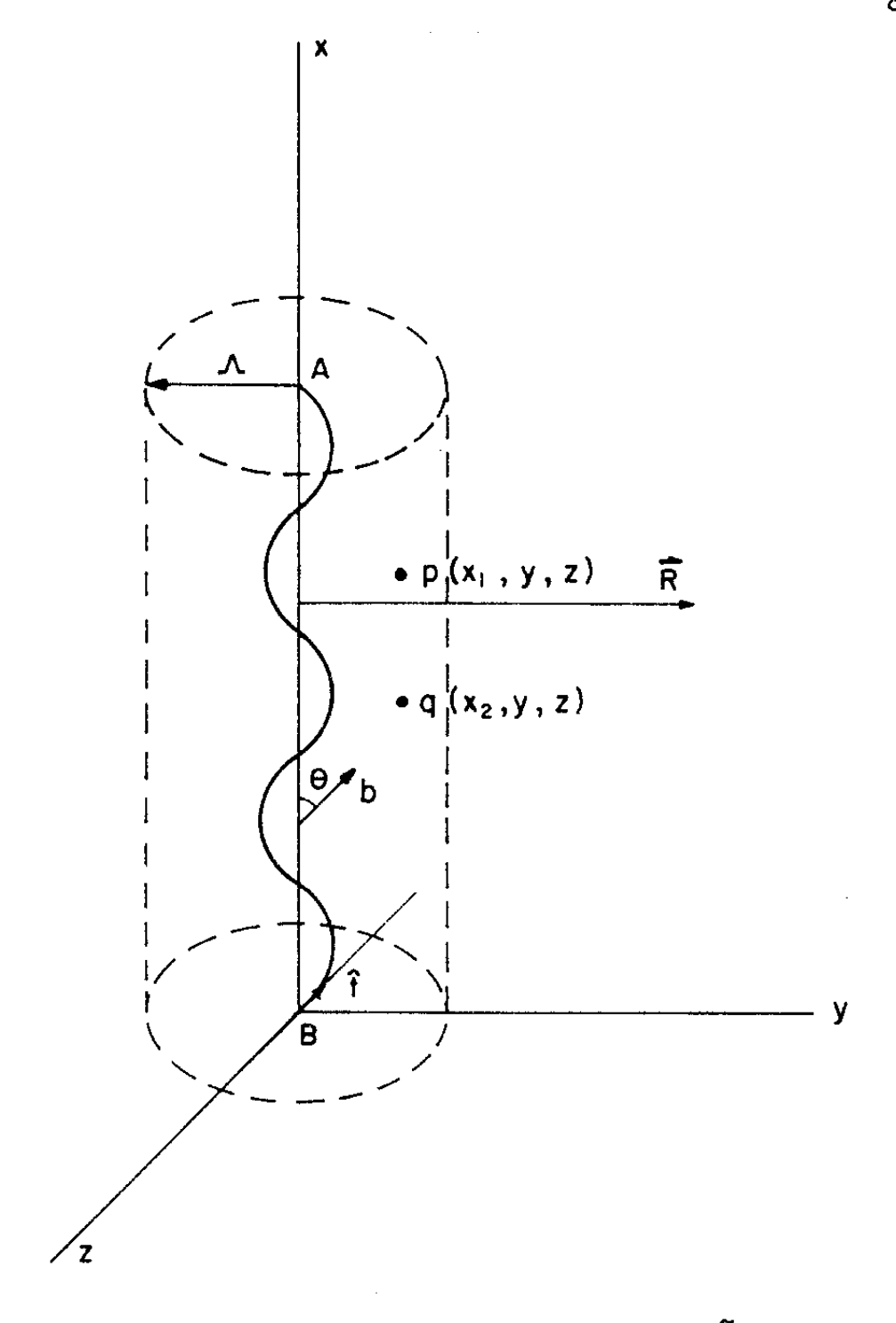


Fig. 7 - Tensão de linha de uma dislocação en curvada.

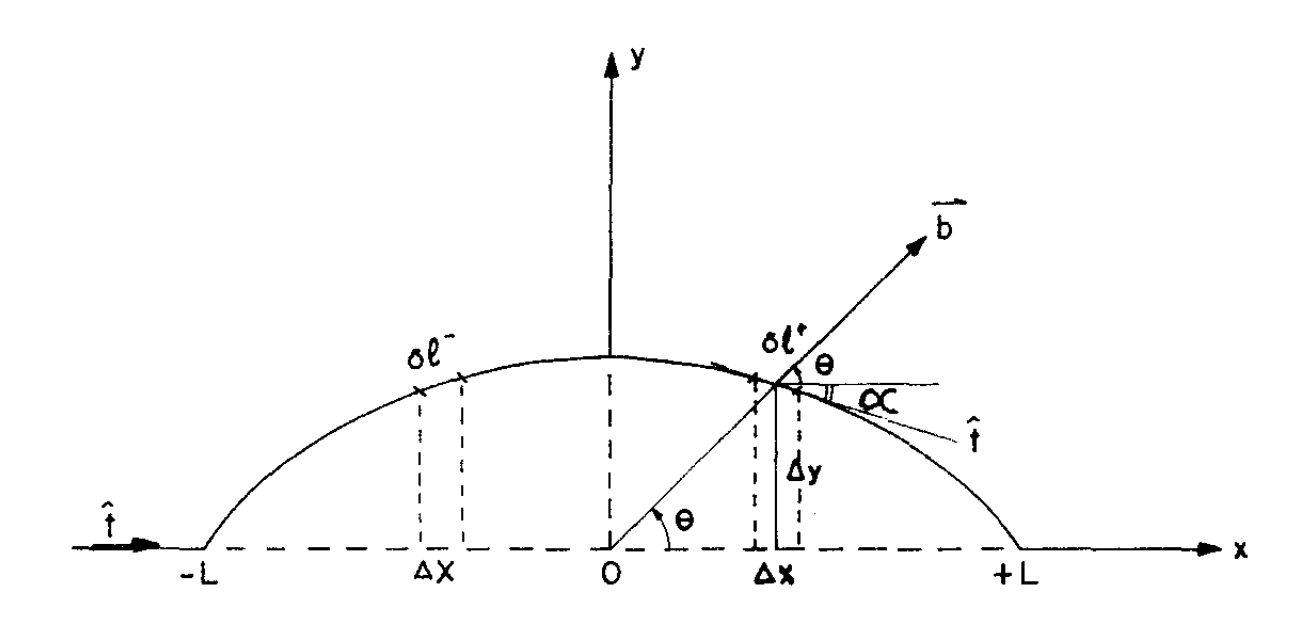


Fig. 8 - Dislocação encurvada. O vetor de Burgers forma um ângulo Θ com a configuração reta original.

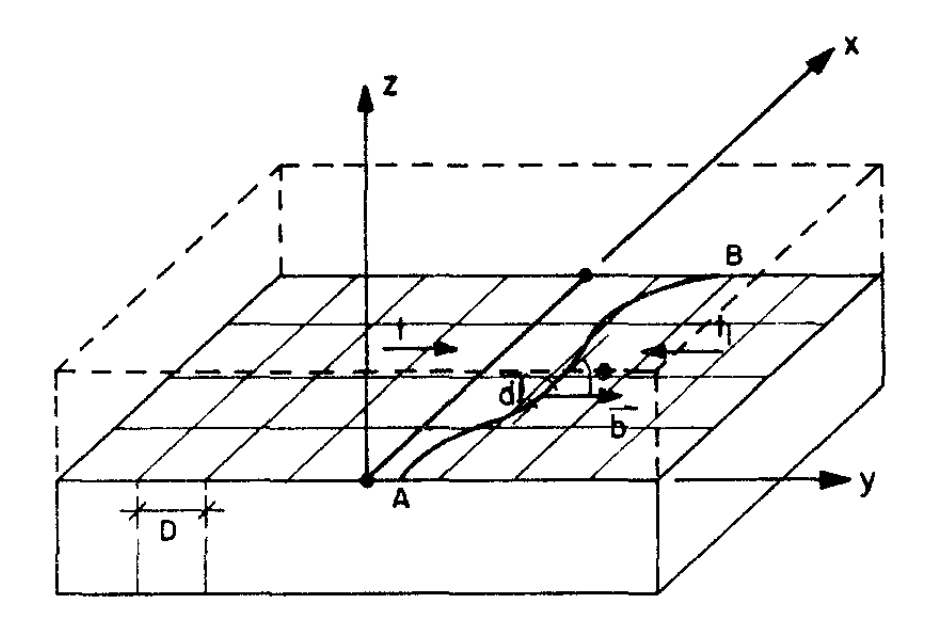


Fig. 9 - Aspecto da configuração assumida pela dislocação no plano do deslizamento, sob a ação da tensão atuante.

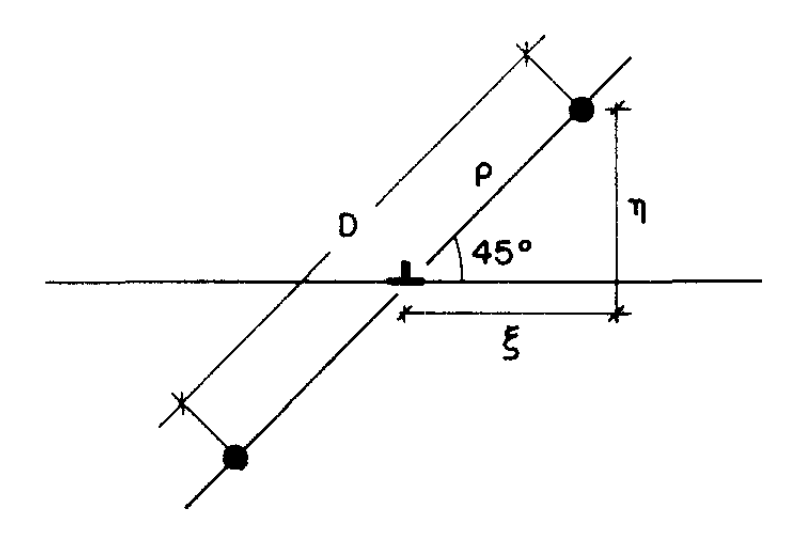


Fig. 10 - Distribuição ordenada de precipitados usada no cálculo de $\overline{O}_{\rm i}.$

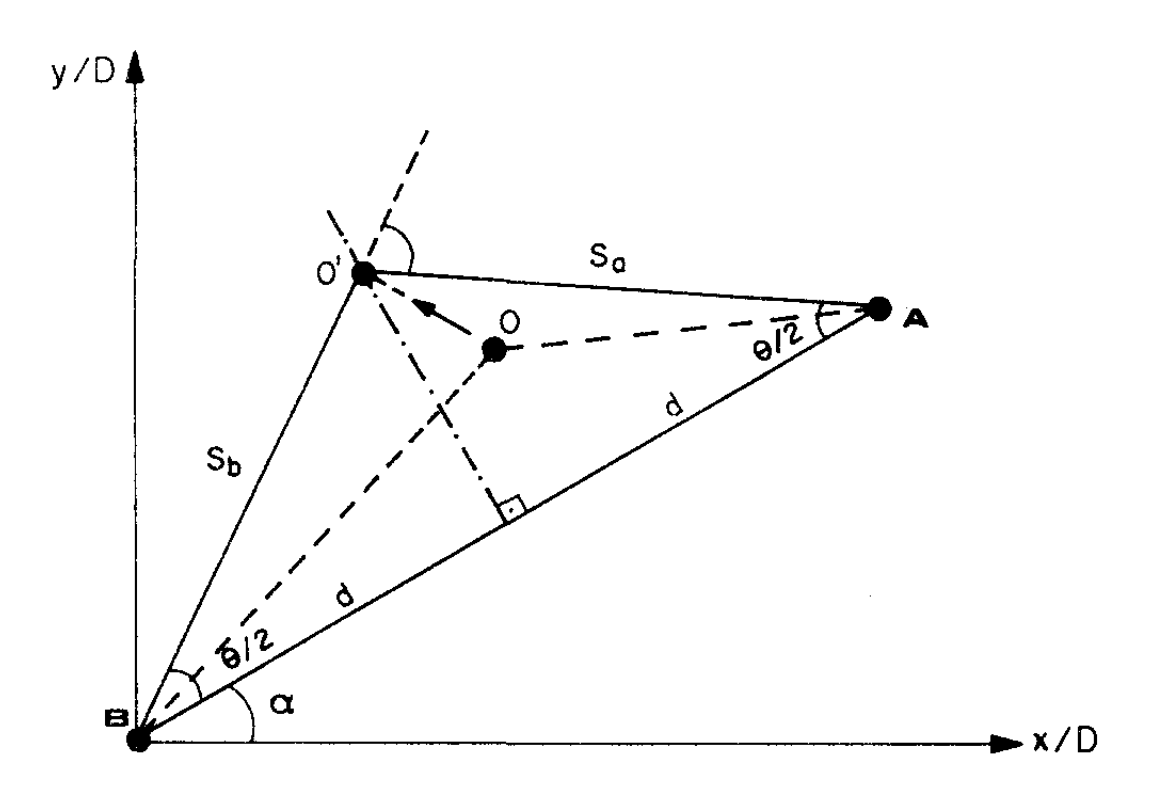


Fig. 11 - Interpretação geométrica do método empregado na simulação do movimento da dislocação.

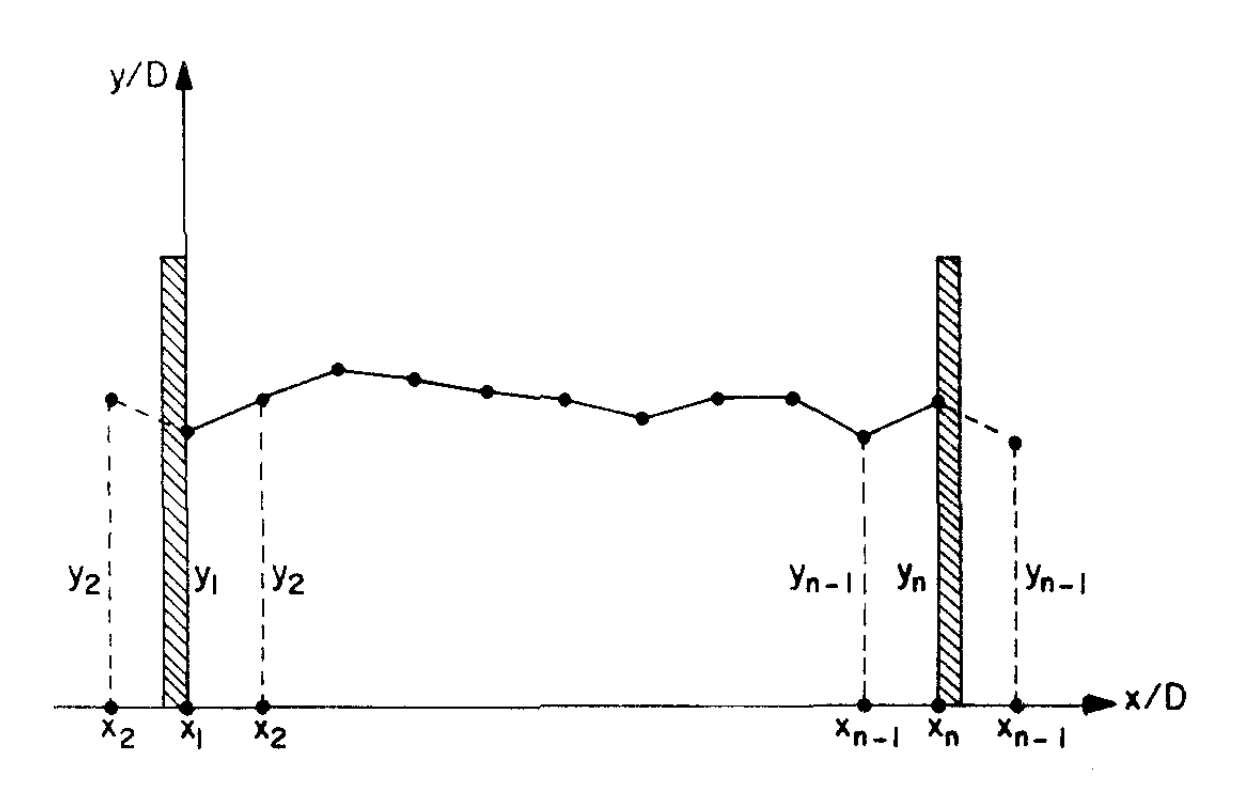


Fig. 12 - Condições de contorno empregadas nos cálculos da simulação - Imagem especular.

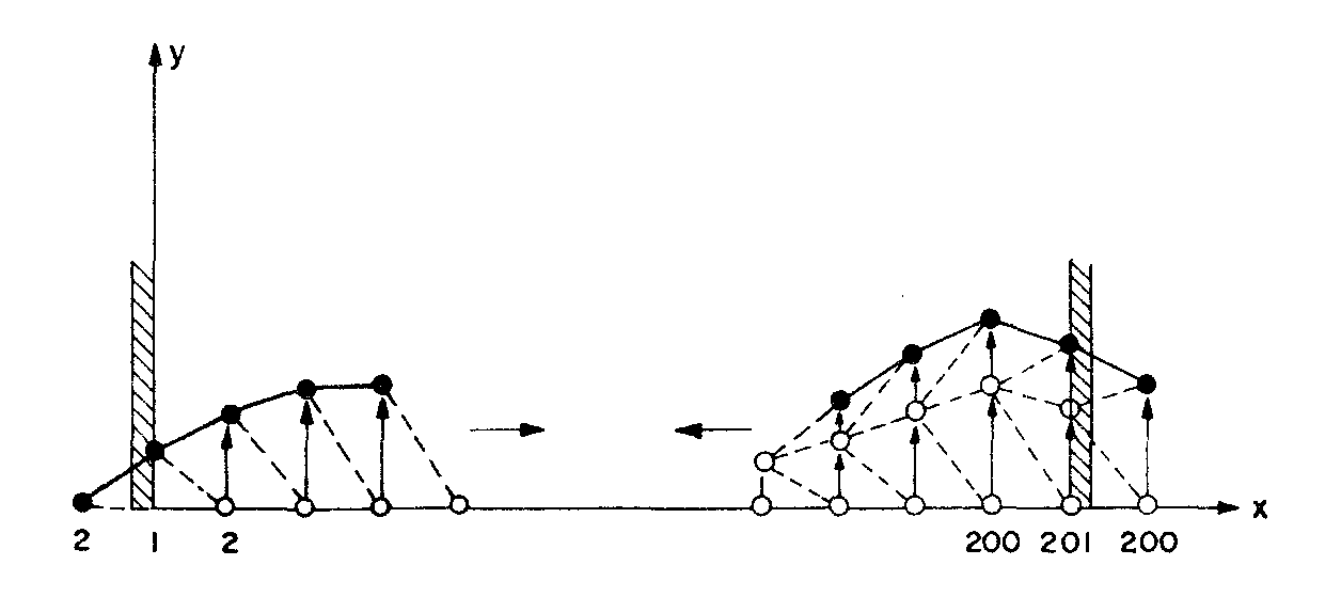


Fig. 13 - Interpretação geométrica do primeiro método idealizado para simular o movimento da dislocação.

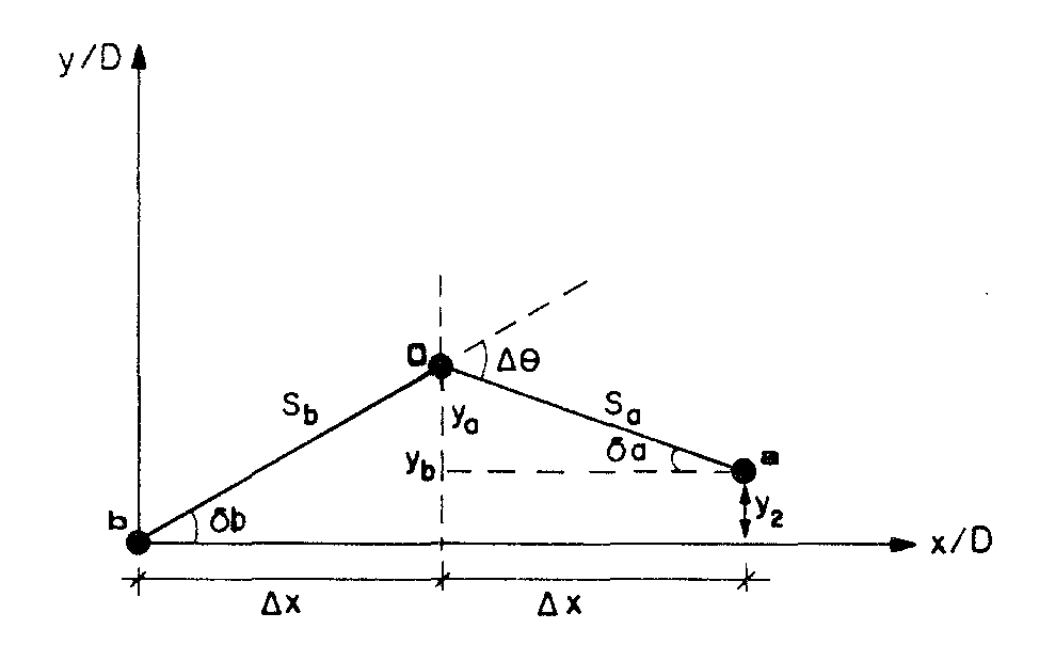


Fig. 14 - Interpretação geométrica de um outro método usado no estudo do movimento da dislocação.

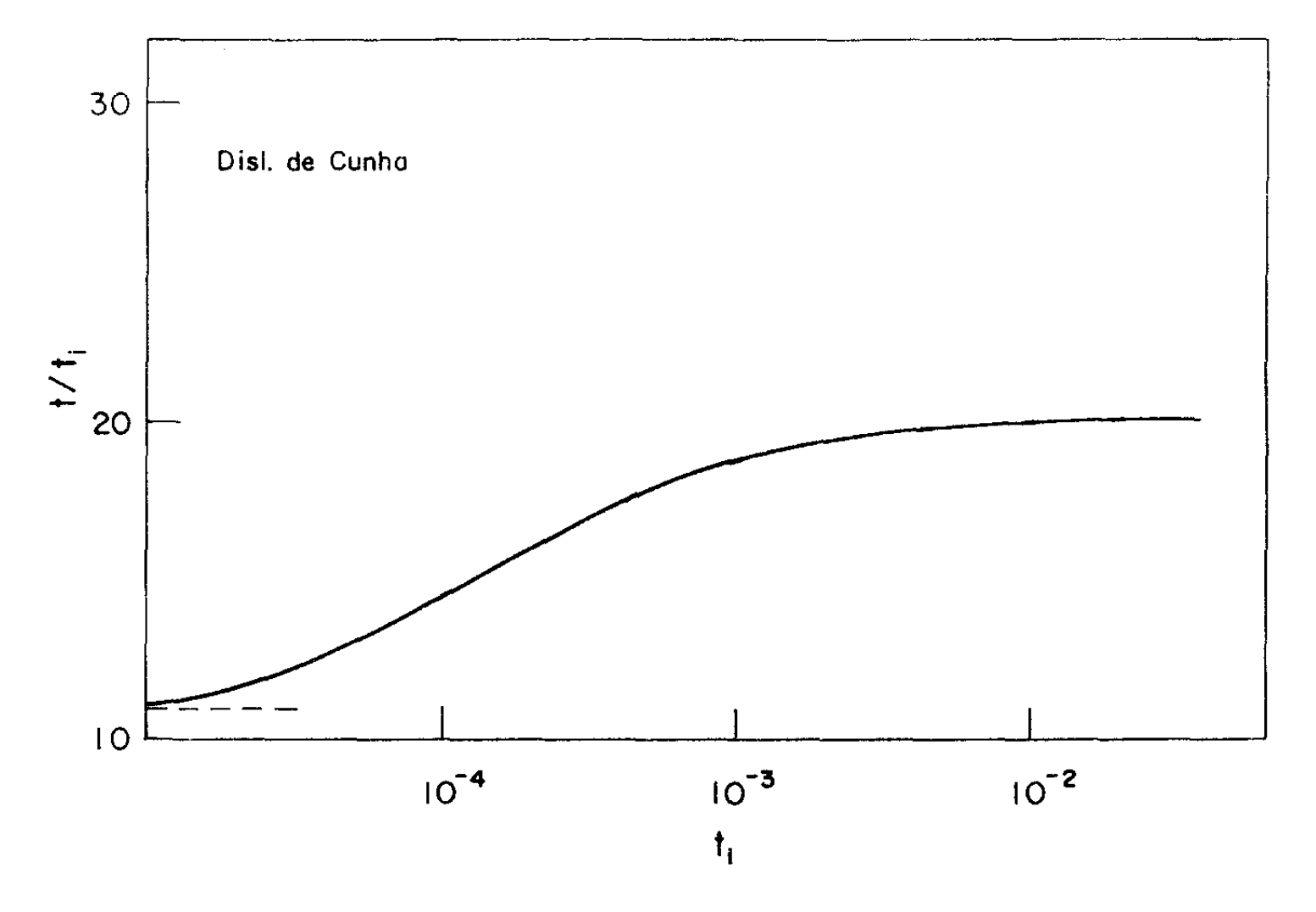


Fig. 15 - Aspecto grafico da variação de relação t/t_i em função de t_i para a dislocação de cunha.

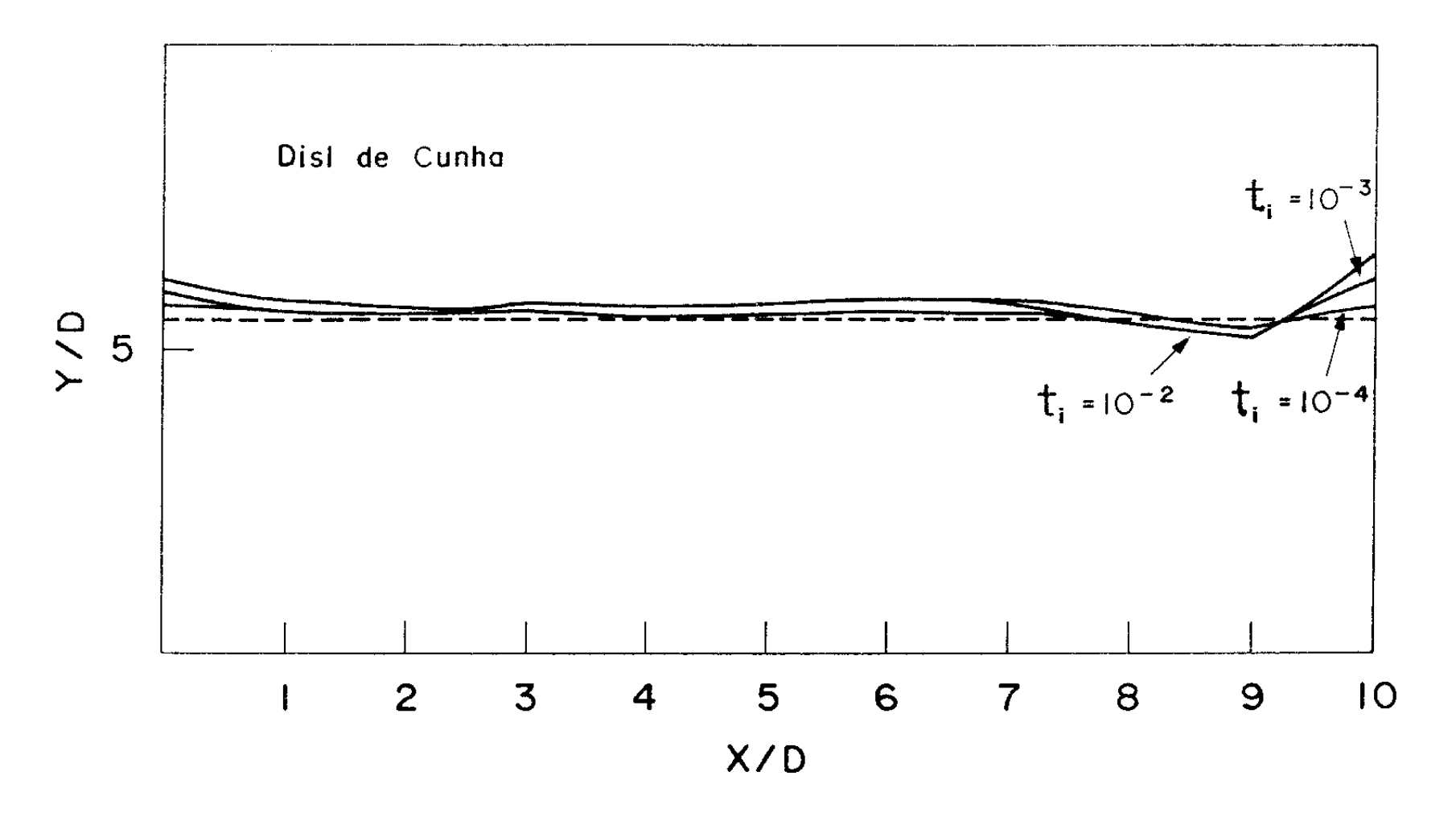


Fig. 16 - Configurações estáveis assumidas pela dislocação para distintos valores de t_i , no caso de uma dislocação de cunha.

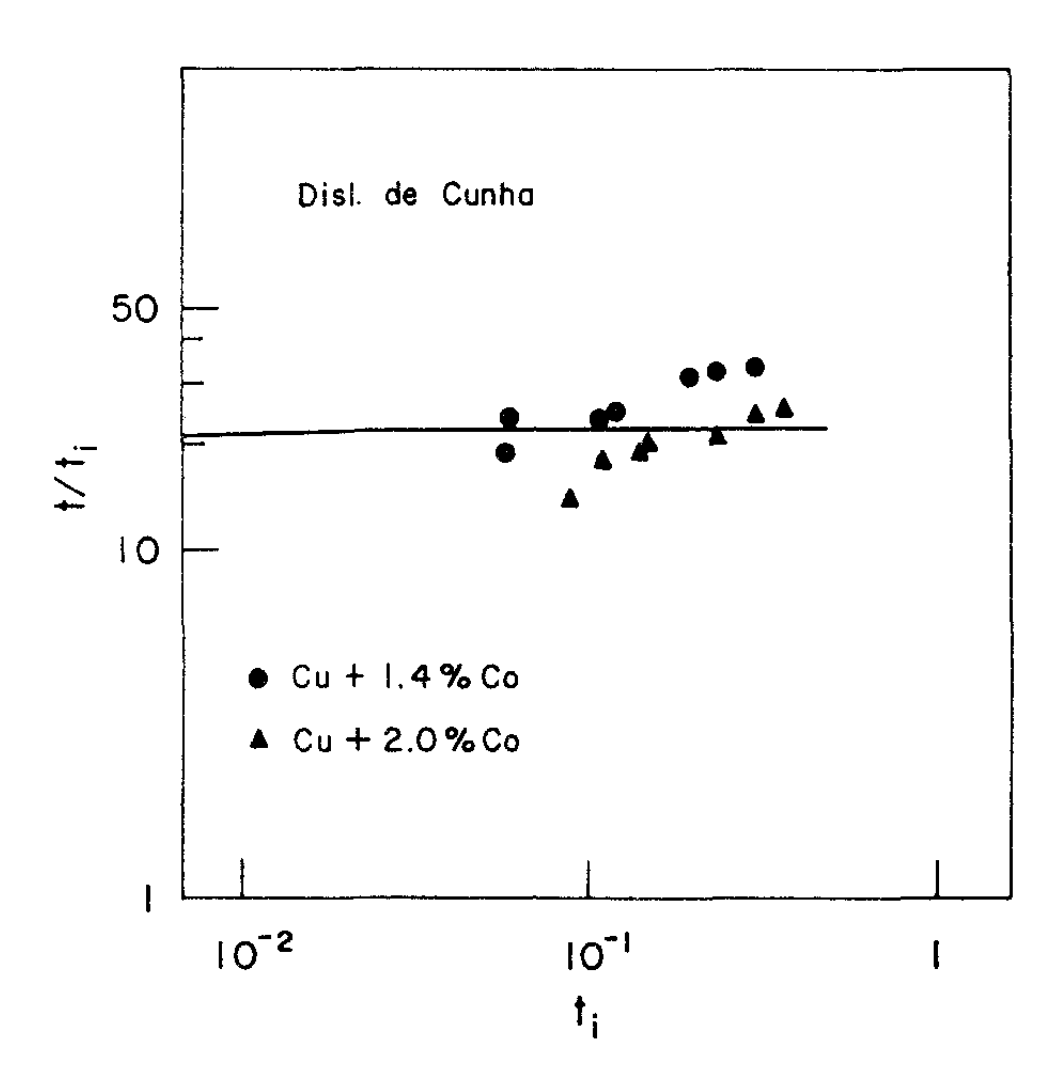


Fig. 17 - Comparação de resultados simulados com dados experimentais para ligas de Cu-Co, para o caso de uma dislocação de cunha.

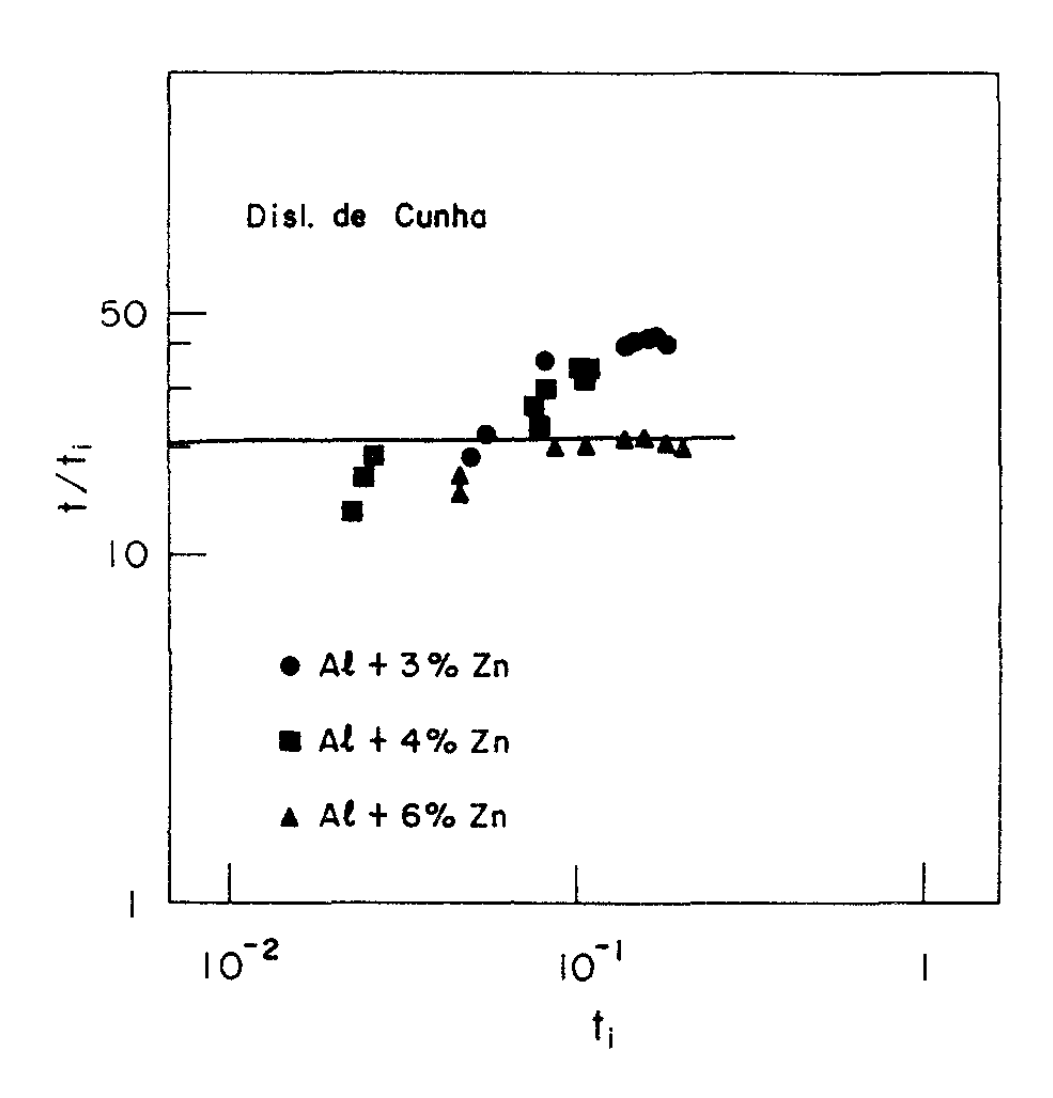


Fig. 18 - Comparação de resultados simulados com dados experimentais para ligas de Al-Zn, para o caso de uma dislocação de cunha.

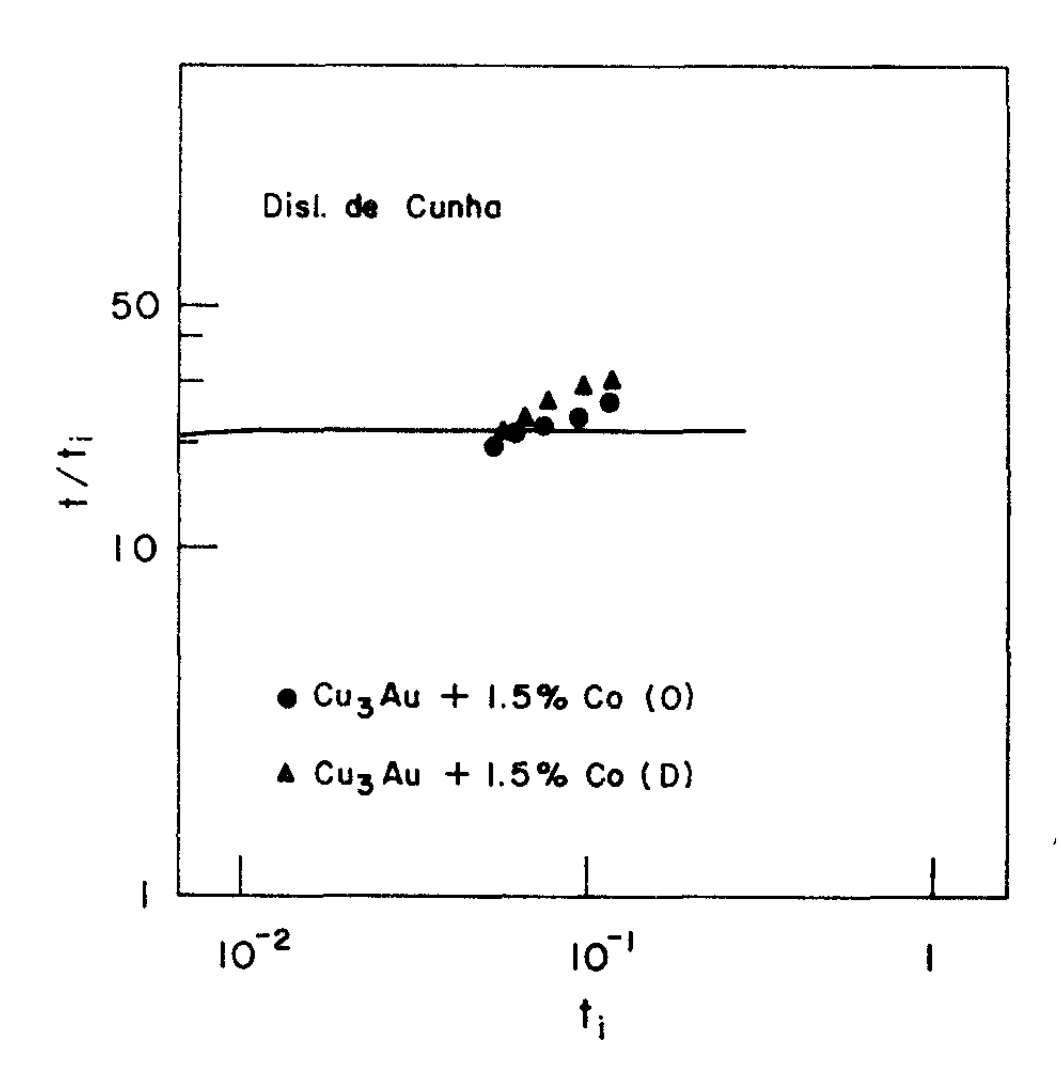


Fig. 19 - Comparação de resultados simulados com dados experimentais para ligas de Cu₃Au-Co, com estruturas ordenadas(O) e desordenada(D), para o caso de umacdislocação de cunha.

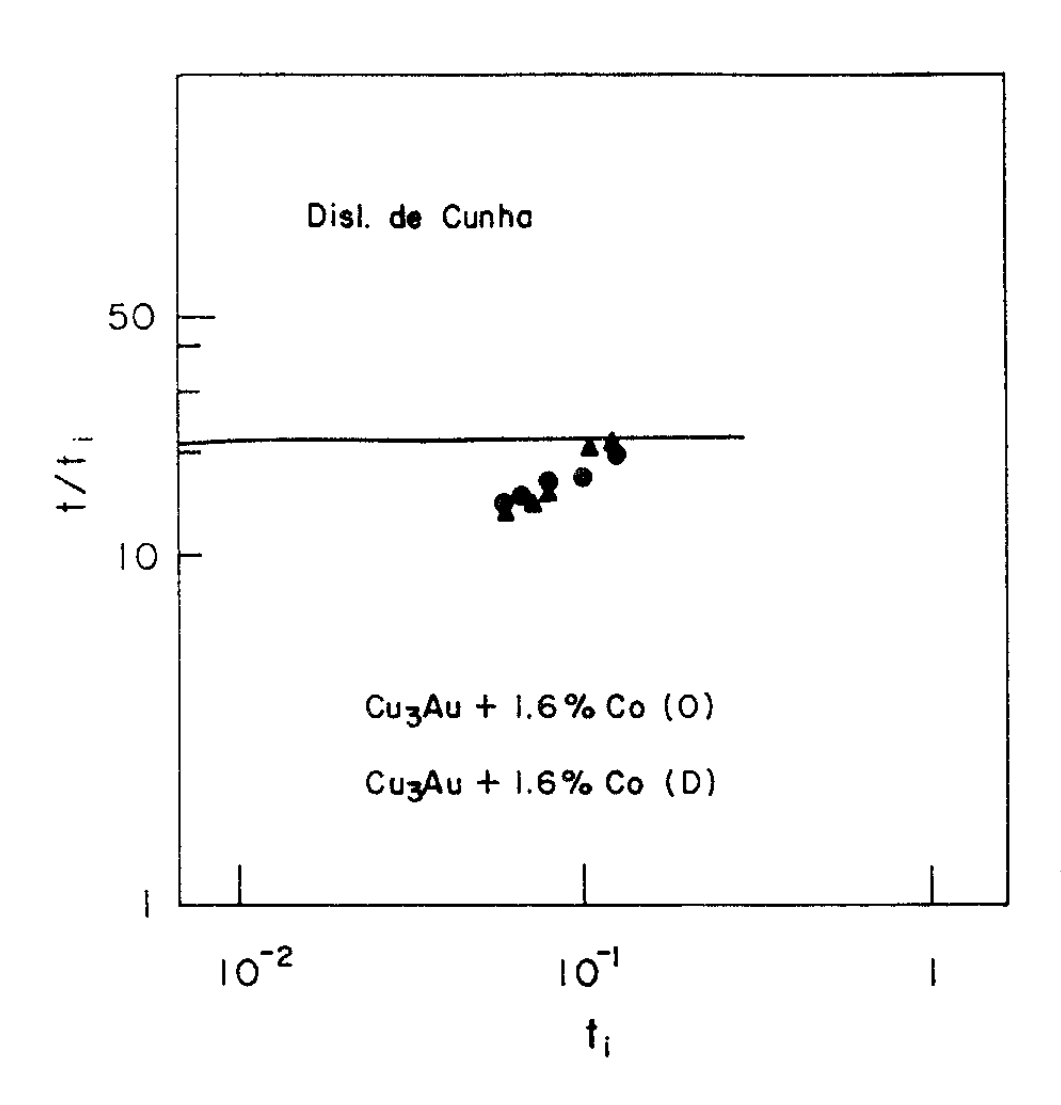


Fig. 20 - Comparação de resultados simulados com dados experimentais para ligas de Cu₃Au-Co, com estruturas ordenada(O) e desordenada(D), para o caso de uma dislocação de cunha.

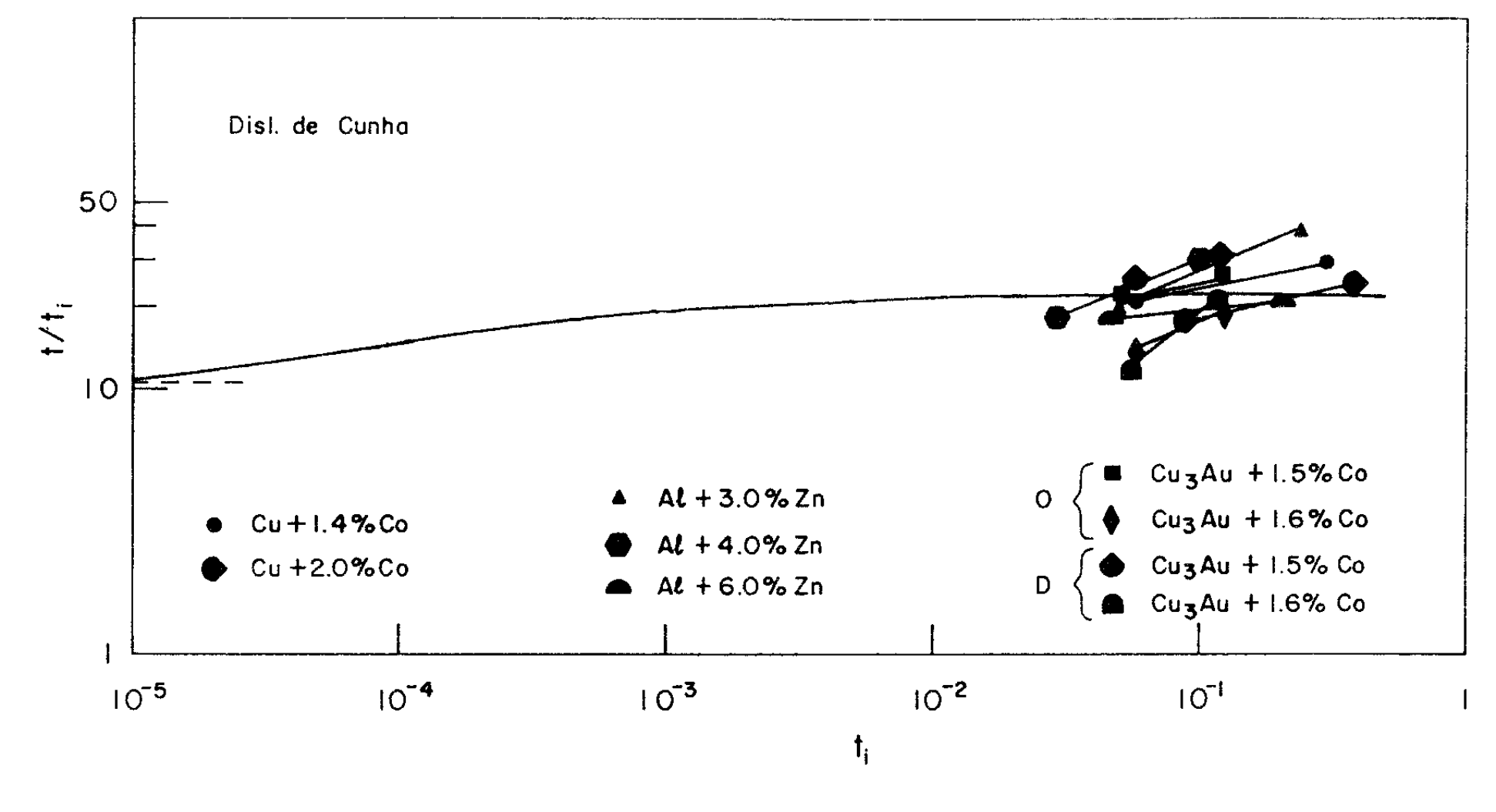


Fig. 21 - Normalização dos dados experimentais à curva padrão dos resultados simulados.

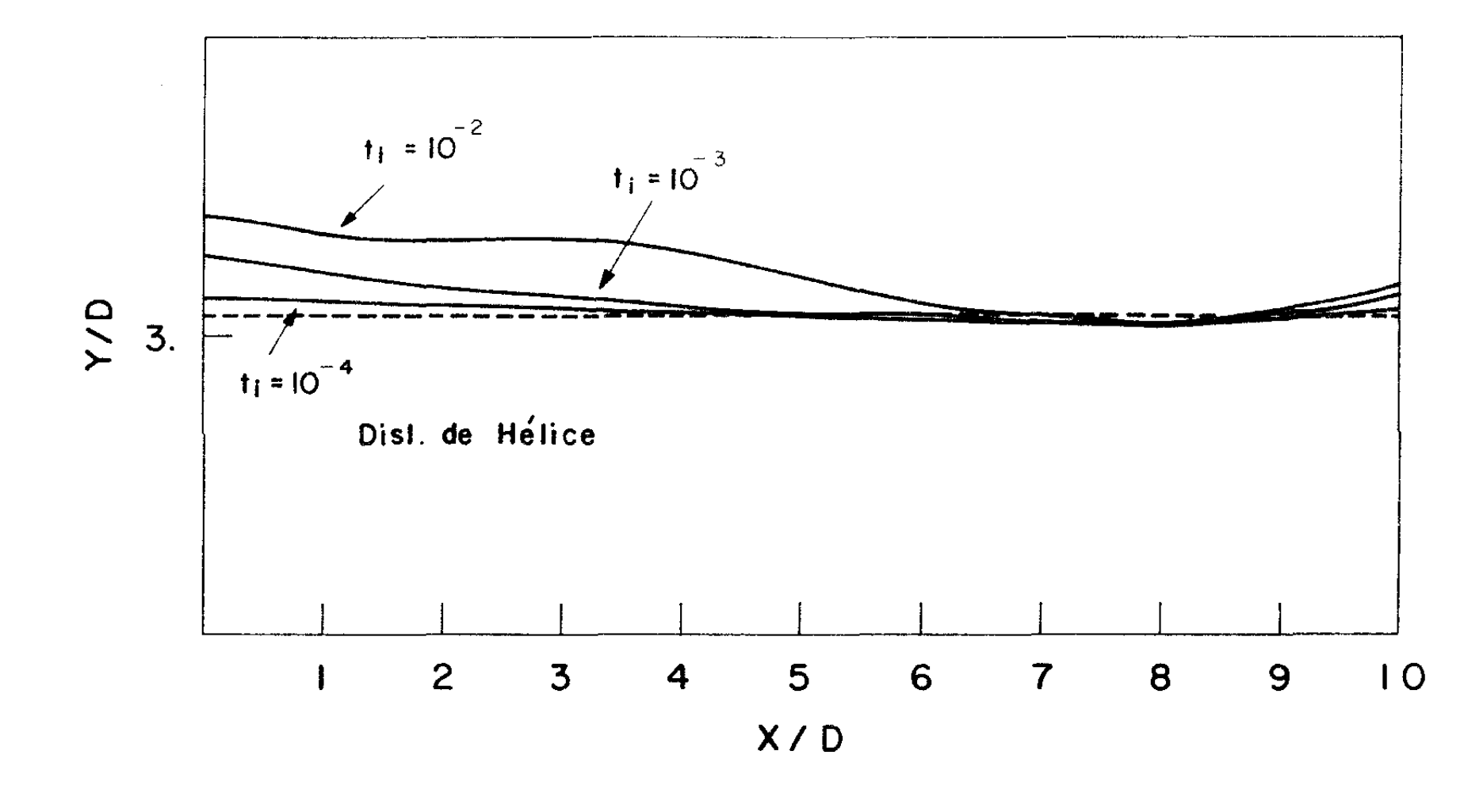


Fig. 22 - Configurações estáveis assumidas pela dislocação de hélice, para distintos valores de t_i .

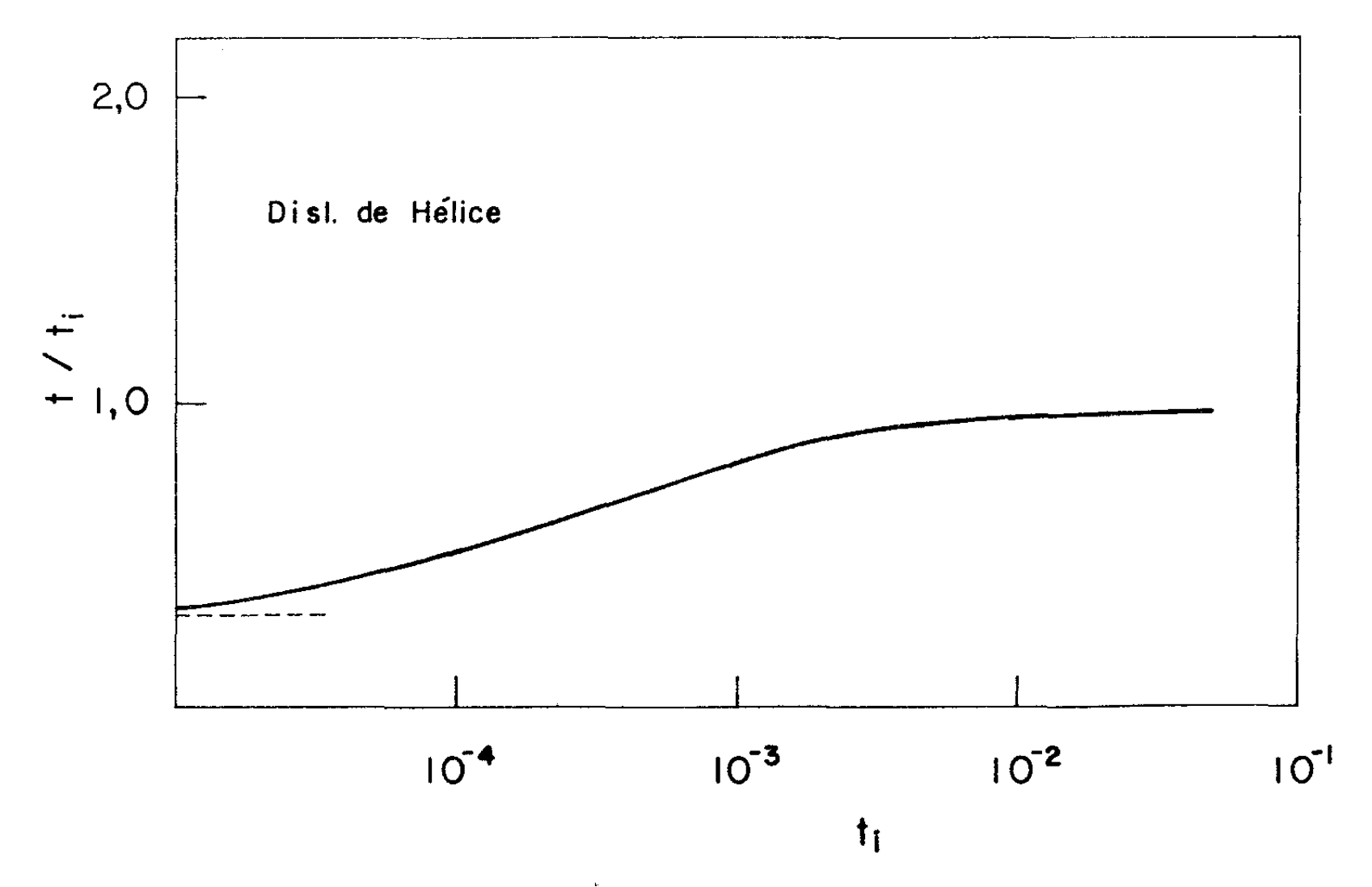


Fig. 23 - Aspecto gráfico da variação da relação t/t_i em função de t_i , para a dislocação de hélice.

APÊNDICE

```
C
C
      MATRIZ, F4
C
С
      OBJETIVO:
C
        FAZER A DISTRIBUICAO ALEATORIA DE CENTROS DE DILATA
C
        CAO.
C
C
      DESCRICAO DOS PARAMETROS:
Ç
              - CARACTERIZA A DISTRIBUICAO
С
        NUM1 - NUMERO DE CELULAS NA DIRECAO X
С
        NUM2 -
                                                Υ
C
        NUM3 -
                                                \mathbf{Z}
C
              - COORDENADA DO CENTRO DE DILATACAO NA CELULA
        Х
C
        Y
C
        7.
C
      DIMENSION X(3000), Y(3000), Z(3000)
C
C
      CARACTERIZAÇÃO DA ESTRUTURA
C
      TYPE 20
20
      FORMAT( 'QUAL O VALOR DE M: ',$)
      ACCEPT 21,M
21
      FORMAT(G)
\mathbf{C}
C
      CONSTRUCAO DO ARRANJO ALEATORIO
C
      NUM1=10
      NUM2 = 20
      NUM3=3
      NUMENUM1*NUM2*NUM3
      NM=0
      NN=0
      NP=0
      CALL OFILE(3, 'ES1')
33
      DD=1973+(M-1)*3920/20.0
      NNN=DD
      WRITE(3,200)NUM1,NUM2,NUM3,NUM,NNN
      CALE SETRAN (DD)
      DO 1 I=1.NUM
      IF(NM.EQ.NUM1)GO TO 2
4
      X(I)=RAN(A)
      IF(X(I).LT.1.0)GO TO 6
      X(I)=0.0
      X(I)=X(I)+NM
6
      NM=RM+I
```

```
IF (NN.EQ.NUM2)GO TO 3
       Y(I)=RAN(B)
5
       IF(Y(I).LT.1.0)GO TO 7
       Y(I)=0.0
7
       Y(I)=Y(I)+NN-10.0
       Z(I)=RAN(C)
       IF(Z(I).LT.1.0)GO TO 8
       Z(I)=0.0
8
       Z(I)=Z(I)+NP-1.5
       IF(ABS(Z(I)).GE.O.1)GO TO 10
       IF(Z(I).GE.O.O)GO TO 9
       Z(I)=-0.1
       GO TO 10
       Z(I)=0.1
9
       GO TO 10
2
       NM=0
       NN = NN + 1
       GO TO 4
3
       NN = 0
       NP=NP+1
       GO TO 5
       WRITE(3,100)X(I),Y(I),Z(I)
10
1
       CONTINUE
       END FILE 3
       TYPE 30
       FORMAT( 'PARA CONTINUAR BATA 1, PARA PARAR 0: ', )
30
       ACCEPT 31.M
       FORMAT(G)
31
       IF (M.EQ.O)GO TO 32
       CALL OFILE (3, :ES2')
       GO TO 33
32
       CONTINUE
100
       FORMAT (5X, 3(10X, E11.4))
       FORMAT(5X,5(5X,15))
200
       CALL EXIT
```

EN D

```
С
C
      AUXIL.F4
С
С
      OBJETIVO:
C
        CRIAR UMA LINHA DE DISLOCACAO RETA DENTRO DO ARRANJO
С
        ESPACIAL DE CENTROS DE DILATAÇÃO.
C
С
      DESCRICAO DOS PARAMETROS:
C
        XX(I): ABCISSA DE UM PONTO DA LINHA DE DISLOCAÇÃO
C
        YY(I) : ORDENADA
C
      DIMENSION XX(600).YY(600)
C
С
      CONSTRUCAO DA RETA
C
      TYPE 10
      FORMAT ( 'OUAL A POSICAO DA LINHA: '. )
10
      ACCEPT 11.M
      FORMAT (G)
11
      CALL OFILE (3. 'RE1')
      DO 20 I=1.201
33
      XX(I)=(I-1)/20.0
      M=(I)YY
      WRITE(3,100)I,XX(I),YY(I)
20
      CONTINUE
      END FILE 3
      TYPE 30
      FORMAT( 'PARA CONTINUAR BATA 1. PARA PARAR O: '. )
30
      ACCEPT 31.M
      FORMAT (G)
31
      IF(M.EQ.Q)GO TO 32
      CALL OFILE (3, 'RE2')
      GO TO 33
32
      CONTINUE
      FORMAT(5X.15.2(4X.E12.5))
100
      CALL EXIT
      EN D
```

```
C
C
      RETA.F4
C
C
      OBJETIVO:
C
        DETERMINAR A TENSAO DE FLUXO PARA O CASO DE UMA DIS
C
        LOCACAO RETA, COM CARACTER INICIAL DE CUNHA (HELICE)
C
C
      METODO EMPREGADO:
C
        PROGRAMA CAMPO.F4 MODIFICADO PARA INCLUIR A TENSAO
С
        APLICADA.
C
C
      DESCRICAO DOS PARAMETROS:
C
        DESCRITOS NOS PROGRAMAS ANTERIORES.
\mathbf{C}
      DIMENSION X(3000),Y(3000),Z(3000),YY(600)
     FORMAT(5X.3(10X.E11.4))
1.00
     FORMAT(5x,5(5x,15))
200
     FORMAT(///, 22X, 'C R S S ( C U N H A )', ///, 6X, 'NUME
300
     1RO DE CELULAS NA DIRECAO X:NUML='.I5./.6X.'
     1
                       Y:NUM2='.I5./.6X.'
             Z: NUM3='.15./)
      FORMAT(1X,'.',5X,'TPI',7X,'.',7X,'TP',7X,'.',6X,'SUM'
400
     1,7X,'.',7X,'YY',6X,'.')
      FORMAT(1X,'.',1X,E12.5,2X,'.',2X,E12.5,2X,'.',2X,E12.
500
     15,2X,'.',2X,E12.5,1X,'.')
     FORMAT( * ENTRE COM UM VALOR PARA RTP: *, )
600
700
     FORMAT(G)
     FORMAT(/, DESEJA CONTINUAR ? ',/,1X,'BATA 1 PARA CON
008
     ITINUAR OU 2 PARA PARAR',/, )
      FORMAT(///.16x.'E T A P A C O N C L U I D A',//)
900
      WRITE(5,100)
      WRITE(5,100)
      TYPE 600
      ACCEPT 700, RTP
      AMB UR= 20
      TPI=0.01
      CALL IFILE (3, 'ES1')
      READ(3,200)NUM1,NUM2,NUM3,NUM,NNN
      DO 1 I=1.NUM
      READ(3,100)X(I),Y(I),Z(I)
1
      WRITE (5.300) NUM1, NUM2, NUM3
      NUll= (NUM1*AMBUR)+1
      DO 2 I=1.NUll
      YY(I)=5.48
2
1.0
      TP=RTP*TPI
      TCFI=0.0
```

```
PA=0.1
      PI=0.1
      WRITE (5,400)
8
      SUM=0.0
      DO 3 I=1,NU11
      YY(I)=YY(I)+PI-PA
      STRI=0.0
      DO 4 J=1, NUM
      A=(I-1)/AMBUR-X(J)
      B=YY(I)-Y(J)
      C=-Z(I)
      IF(ABS(A).GT.1.5)GO TO 4
      IF(ABS(B).GT.1.5)GO TO 4
      DIS=SURT((A**2+B**2+C**2)**5)
      STRI=STRI+TPI*B*C/DIS
4
      CONTINUE
      SUM=SUM+STRI+TP
3
      CONTINUE
      WRITE(5,500)TPI,TP,SUM,YY(1)
      IF(YY(1).GT.6.0)GO TO 9
      IF(SUM.LT.0.001)GO TO 11
      AA=1.0
13
      IF(ABS(PI).GT.0.0005)GO TO 6
      GO TO 5
6
      PA=0.0
      BB=TCFI*SUM
      IF(BB.GE.O.O)GO TO 7
      PI=PI+0.5
      CC=SIGN (AA, SUM)
7
      PI=CC *ABS (PI)
      GO TO 8
5
      RTP=RTP+1.0
      WRITE(5,100)
      GO TO 10
      TYPE 800
11
      ACCEPT 700.N
      IF(N.EQ.2)GO TO 12
      GO TO 13
      WRITE (5,900)
9
      CALL EXIT
12
      END
```

```
C
C
      FLEX.F4
С
\mathbf{C}
      OBJETIVO:
C
        DETERMINAR A TENSAO DE FLUXO PARA O CASO DE UMA
                                                              DIS
C
        LOCACAO FLEXIVEL, COM CARACTER INICIAL DE CUNHA(HELI
C
        CE).
C
C
      METODO EMPREGADO:
C
        O USADO NO PROGRAMA TMAX.F4
\mathbf{C}
      DIMENSION X(1000),Y(1000),Z(1000)
      DIMENSION XX(600), YY(600), XXX(600), YYY(600)
      COMMON TPI.NUll.NUM.TP
C
100
      FORMAT (5X.3(10X.E11.4))
      FORMAT(5X.4(5X.E11.4))
150
    FORMAT (5X,5(5X.15))
200
      FORMAT(4X.15.4(4X.E12.5))
250
      FORMAT(5X, 15, 2(4X, E12.5))
300
      FORMAT('HA PROBLEMA NO PONTO', /, 2X, 'I=', 15, 'ALFA=', Ell
350
     1.4.2X, 'DIF='.E11.4)
400
      FORMAT(25X.' SUM TOTAL = '.E13.6)
С
С
      ENTRADA DOS DADOS
C
      CALL IFILE (3. 'ES1')
      READ(3,200)NUM1,NUM2,NUM3,NUM,NNN
      DO 1 I=1.NUM
      READ(3,100)X(I),Y(I),Z(I)
1
      WRITE(5.100)
      WRITE(5.200)NUM1.NUM2.NUM3.NUM.NNN
      WRITE(5.100)
      L=0
      AMBUR= 20
      RTP=10.0
      TPI=0.01
      TP=TPI RTP
      WRITE(5,150)AMBUR, TPI, RTP, TP
      NU11=NUM1*AMBUR+1
      CALL IFILE (3. 'RE1')
      DO 9 I=1.NU11
      READ(3.300)N.XX(I).YY(I)
9
C
C
      DETERMINACAO DA TENSAO DE FLUXO
C
```

```
COV=YY(I)
      MM=0
      M=0
15
      DO 2 I=1, NU11
      DOF=0.8
      ALFA=0.0
      CALL ANGULO(XX,YY,X,Y,Z,ALFA,I,AFLA)
3
      DIF=ALFA-AFLA
      ALFA=AFLA
      IF (ABS (DOF).GT.ABS (DIF))GO TO 50
      WRITE(5,100)
      WRITE(5.350)I.ALFA,DIF
      WRITE(5,100)
      GO TO 55
      DOF=DIF
50
      IF(ABS(DIF).GT.ABS(0.01))GO TO 3
2
      CONTINUE
      DO 10 I=1.NU11
      XXX(NU11-I+1)=-XX(I)
      YYY(NU11-I+1)=YY(I)
10
      CONTINUE
      DO 11 I=1.NU11
      INV=NUll-I+1
      DOF=0.8
      ALFA=0.0
13
      CALL ANGULO(XXX,YYY,X,Y,Z,ALFA,I,AFLA)
      DIF=ALFA-AFLA
      IF(ABS(DOF).GT.ABS(DIF))GO TO 49
      WRITE(5.350)INV, ALFA, DIF
      GO TO 55
49
      DOF=DIF
      IF(ABS(DIF).GT.ABS(0.01))GO TO 13
11
      CONTINUE
      M=M+1
24
      DO 12 I=1.NU11
      XX(NUll-I+1)=-XXX(I)
      YY(NUll-I+l)=YYY(I)
      CONTINUE
12
      IF(M.NE.10)GO TO 15
      CALL OFILE(3,'FL1')
      DO 35 I=1,NUll
      WRITE(3,300)I,XX(I),YY(I)
35
      END FILE 3
      M=0
      WRITE(5.100)
      WRITE (5,100)
```

```
DO 22 I=1.NU11.10
      WRITE(5.300)I.XX(I).YY(I)
22
      MM=MM+1
      IF(MM.EQ.5)GO TO 90
      GO TO 15
      SUM=0.0
90
      DO 91 I=1.NU11
      CALL TENSAO(XX,YY,X,Y,Z,STR)
      SUM-SUM+STR
91
      CONTINUE
      WRITE(5.400)SUM
      MM=0
      GO TO 15
55
      CALL EXIT
      EN D
С
C
      SUBROUTINE ANGULO
C
        MOVIMENTA A DISLOCACAO
C
      SUBROUTINE ANGULO(XX,YY,X,Y,Z,ALFA,I,AFLA)
      DIMENSION XX(1),YY(1),X(1),Y(1),Z(1)
      COMMON TPI, NUll, NUM, TP
      STR=0.0
      IF(I.NE.1)GO TO 2
      BETA=0.0
      DD=ABS(XX(2)-XX(1))
      GO TO 3
      IF(I.NE.NUll)GO TO 4
2
      BETA=0.0
      DD = ABS(XX(NU11) - XX(NU11-1))
      GO TO 3
      B \in TA = ATAN((YY(I+1)-YY(I-1))/(XX(I+1)-XX(I-1)))
4
      DD = ABS((XX(I+1)-XX(I-1))/(2.0*COS(BETA)))
      SS=DD/COS(ALFA/2.0)
3
      DO 1 J=1.NUM
      A = ABS(XX(I)) - X(J)
      B=YY(I)-Y(J)
      C=-Z(J)
      IF(ABS(A).GT.1.5)GO TO 1
      IF(ABS(B).GT.1.5)GO TO 1
      DIS=SQRT((A**2+B**2+C**2)**5)
      STR=STR+TPI *B*C/DIS
1
      CONTINUE
      STR=STR+TP
       AFLA= 2.0*STR*SS
       IF(I.NE.1)GO TO 5
```

```
YY(1)=YY(2)+SS*SIN(AFLA/2.0)
      GO TO 7
      IF(I.NE.NUll)GO TO 6
5
      YY(NU11)=YY(NU11-1)+SS*SIN(AFLA/2.0)
      GO TO 7
      XX(I)=XX(I-1)+SS*COS(AFLA/2.0+BETA)
6
      YY(I)=YY(I-1)+SS*SIN(AFLA/2.0+BETA)
7
      CONTINUE
      RETURN
      END
\mathbb{C}
C
      SUBROUTINE TENSAO
C
        CALCULA A TENSAO ATUANTE SOBRE A DISLOCAÇÃO
C
      SUBROUTINE TENSAO(XX.YY.X.Y.Z.I.STR)
      DIMENSION X(1),Y(1),Z(1),XX(1),YY(1)
      COMMON TPI.NU11.NUM.TP
      STR=0.0
      IF(I.EQ.1)GO TO 1
      IF(I.EQ.NU11)GO TO 2
      ANGl=ATAN((YY(I)-YY(I-1))/(XX(I)-XX(I-1)))
      ANG2=ATAN((YY(I 1)-YY(I))/(XX(I 1)-XX(I)))
      Dl=SORT((YY(I)-YY(I-1))**2+(XX(I)-XX(I-1))**2)
      D2=SORT((YY(I 1)-YY(I))**2+(XX(I 1)-XX(I))**2)
      DANG ANGI/DI
      GO TO 3
      ANG \ge ATAN ((YYNU11-1)-YY(NU11))/(XX(NU11-XX(NU11-1)))
2
      DANG ANG2/D2
      DO 4 J=1.NUM
3
      A=XX(I)-X(J)
      B=YY(I)-Y(J)
      C=-Z(I)
      IF(ABS(A).GT.1.5)GO TO 4
      IF (ABS (B).GT.1.5) GO TO 4
      DIS=SQRT((A**2+B**2+C**2)**5)
      STR=STR+TPI+B+C/DIS
4
      CONTINUE
      RETURN
      EN D
```